



وزارة التعليم العالي والبحث العلمي

جامعة ديالى

كلية العلوم

قسم الكيمياء

## استخدام نظرية دوال الكثافة في تقييم كفاءة الصبغات العضوية كمتحسسات للخلايا الشمسية

رسالة ماجستير مقدمة الى مجلس كلية العلوم في جامعة ديالى

وهي جزء من متطلبات نيل درجة الماجستير علوم في الكيمياء

من قبل

نبأ برهان علي

بكالوريوس علوم كيمياء/ جامعة ديالى 2011

بإشراف

أ.د. عامر فاضل داود النعيمي

أ.م.د. صلاح الدين جاسم حمادي

بِسْمِ اللَّهِ الرَّحْمَنِ الرَّحِيمِ

﴿ وَالشَّمْسُ تَجْرِي لِمُسْتَقَرٍّ لَهَا ذَلِكَ تَقْدِيرُ

الْعَزِيزِ الْعَلِيمِ ﴾

سورة يس - ٣٨ -

## إقرار المشرفين

نقر بأن إعداد الرسالة الموسومة (استخدام نظرية دوال الكثافة في تقييم كفاءة الصبغات العضوية كمتحسسات للخلايا الشمسية) المقدمة من قبل الطالبة نبأ برهان علي قد جرت تحت إشرافنا في كلية العلوم – جامعة ديالى وهي جزء من متطلبات نيل شهادة الماجستير في علوم الكيمياء.

### المشرف الأول

التوقيع:

الأسم: د. عامر فاضل داود

المرتبة العلمية: أستاذ

التاريخ: / / 2017

### المشرف الثاني

التوقيع:

الأسم: د. صلاح الدين جاسم حمادي

المرتبة العلمية: أستاذ مساعد

التاريخ: / / 2017

## إقرار رئيس قسم علوم الكيمياء

بناء على التوصيات المتوافرة أرشح هذه الرسالة للمناقشة

التوقيع:

الأسم: د. وسن باقر علي

المرتبة العلمية: مدرس

التاريخ: / / 2017

## إقرار الخبير العلمي

أقر أن الرسالة الموسومة (استخدام نظرية دوال الكثافة في تقييم كفاءة الصبغات العضوية كمتحسسات للخلايا الشمسية) المقدمة من طالبة الماجستير (نبأ برهان علي) إلى قسم علوم الكيمياء قد تم مراجعتها من الناحية العلمية وبذلك أصبحت الرسالة مؤهلة للمناقشة.

التوقيع:

الاسم: د.حسن رشيد

المرتبة العلمية: أستاذ مساعد

التاريخ: / / 2017

## إقرار المقوم اللغوي

أقر أن إعداد هذه الرسالة الموسومة (استخدام نظرية دوال الكثافة في تقييم كفاءة الصبغات العضوية كمتحسسات للخلايا الشمسية) التي قدمتها طالبة الماجستير (نبأ برهان علي) قد تمت مراجعتها من الناحية اللغوية وصحح ما ورد فيها من أخطاء لغوية وتعبيرية وبذلك أصبحت الرسالة مؤهلة للمناقشة بقدر تعلق الأمر بسلامة الأسلوب وصحة التعبير.

التوقيع:

الأسم: د.محمد عبد الرسول سلمان

المرتبة العلمية: مدرس

التاريخ: 2017 / /

## إقرار لجنة المناقشة

نحن أعضاء لجنة المناقشة ، نشهد بأننا أطلعنا على هذه الرسالة الموسومة (استخدام نظرية دوال الكثافة في تقييم كفاءة الصبغات العضوية كمتحسسات للخلايا الشمسية) وقد ناقشنا **الطالبة** **نبأ برهان علي** في محتوياتها وفيما له علاقة بها، ونرى بأنها جديرة بالقبول لنيل درجة ماجستير في علوم الكيمياء.

### رئيس اللجنة

التوقيع:

الأسم: د.أحلام محمد فرحان

المرتبة العلمية: أستاذ

التاريخ: / / 2017

### عضو اللجنة

التوقيع:

الأسم: د.أحمد نجم عبد

المرتبة العلمية: أستاذ مساعد

التاريخ: / / 2017

### عضو اللجنة

التوقيع:

الأسم: د.عبد الكريم محمد علي

المرتبة العلمية: أستاذ مساعد

التاريخ: / / 2017

### عضو اللجنة (المشرف)

التوقيع:

الأسم: د.صلاح الدين جاسم حمادي

المرتبة العلمية: أستاذ مساعد

التاريخ: / / 2017

### عضو اللجنة (المشرف)

التوقيع:

الأسم: د.عامر فاضل داود

المرتبة العلمية: أستاذ

التاريخ: / / 2017

### مصادقة عمادة كلية العلوم

التوقيع:

الأسم: د.تحسين حسين مبارك

المرتبة العلمية: أستاذ

التاريخ: / / 2017

## الإهداء

أهدي هذا الجهد المتواضع إلى من بعث رحمة للعالمين سيد المحبين معلمنا وقدوتنا سيدنا محمد الذي نزل عليه

القرآن فأضاءت الدنيا تعاليمه جنراه الله عنا خير ما جزى نبيا عن أمته

ثم إلى من تعجزت الكلمات عن وصفها وإيفائها حقها والدتي الحبيبة التي أغدقت علي بعطاياها حتى أوصلتني

إلى ما وصلت إليه الآن

وإلى من مهد دربي وكان سنداً ودعماً لي والدي الحنون

وإلى من أشدّ به أمرري أخي العزيز

اسأل الله تعالى أن يحفظهم لي

نبأ

## الشكر والتقدير

في هذا المقام أتقدم بالحمد والثناء أولاً الى الله العلي القدير الذي أمدني بعونه ونصره طوال مسيرتي في طلب

العلم فعلمي ما لم أكن اعلم فله الحمد حمدا طيبا كثيرا مباركا بدوام وجهه الكريم

ثم أتقدم بالشكر الى والدي الحبيين فهما السبب في حبي للعلم وحرصي على التعلم

وأتقدم بالشكر الجزيل الى أستاذي الفاضل الدكتور عامر فاضل داود أسأل الله أن يحفظه

وشكري الجزيل الى أستاذي الفاضل الدكتور صلاح الدين جاسم الذي لم يخل علي بنصحه وتوجيهاته

التي غيرت مجرى الرسالة نحو الأفضل أسأل الله أن يبارك في عمره وصحته وعلمه

وأتقدم أيضا بالشكر والامتنان الى كلية العلوم ورئيسة قسم الكيمياء والى جميع أساتذتي في

قسم الكيمياء لتعاونهم معي

وأتقدم بالشكر الجزيل والموصول الى الدكتورة كفاء التي أمرشدتني ووجهتني نحو الصواب ولم تبخل

علي بذلك فجزاها الله خير الجزاء

وشكري الى الدكتور عبد الكريم السامرائي لما قدمه لي من مساعدة وفقه الله

وأخيرا أتقدم بالشكر الى كل من وقف جانبي وشجعني ودعا لي بظهر الغيب .



## الخلاصة

في هذه الرسالة جرى البحث والتقصي عن الصبغات الطبيعية التي يمكن استخدامها في الخلايا الشمسية بصفاتها مواد متحسسة للضوء ومحاولة تحديد كفاءتها في هذا المجال وقد تم ذلك من خلال استخدام البرامجيات المعروفة Molecular modeling وتحديد طرق DFT و HF باستخدام مجموعة من القواعد الساندة مثل 3-21G, 6-31G, 6-311G إضافة الى معامل تقريب B3LYP وقد تم إجراء الحسابات على وفق برنامج 14 ChemBio3D ultra program وباستخدام الحاسبة الشخصية P.C.

تم دراسة عدد من الصبغات الطبيعية والتي بلغت 25 نوع بطرق حسابية مختلفة لمجموعة من العوامل المهمة التي تدخل في تقييم كفاءة هذه الصبغات في استخدامات الطاقة الشمسية ومن هذه العوامل:

1. طاقة الفجوة.

2. قيم أطيف الامتصاص.

3. قيم Global Electrophilicity.

4. فولتية الدائرة المفتوحة لـ  $TiO_2$ .

5. فولتية الدائرة المفتوحة لـ PCBM.

وبالنظر إلى عدم وجود طريقة حسابية محددة يمكن اعتبارها الأدق في معالجة هذا العدد المتنوع من الصبغات الخمسة والعشرين ولعدم وجود تطابق تام في نتائجها فقد تم اعتماد أسلوب المعالجات الإحصائية في اختيار الصبغات الاعلى كفاءةً بناءً على ما تقدم من عوامل تقييم كفاءة الأداء إذ ظهر أن صبغة Delphinidin هي الاعلى كفاءة عند استخدام  $TiO_2$  بصفاتها حزمة توصيل Conduction band في حين كانت صبغتي Luteolinidin+glucose, و Apigeninidin+glucose هما الأوفر حظاً والأعلى كفاءةً عند استخدام PCBM كحزمة توصيل.

تم أيضا إجراء بعض التجارب العملية لغرض الموازنة بين كفاءة صبغتين، الأولى تمثل الصبغة الموجودة في الملفوف الأحمر الحاوية على الانثوسيانين وهي المصدر الرئيس لصبغة Delphinidin التي تم عدّها الصبغة الأكفاء من ناحية التحسس الضوئي من بين كل الصبغات الخمس والعشرين التي تمت دراستها والثانية صبغة الكلوروفيل الموجودة في سعف النخيل، وفي كلا الخليتين تم استخدام طبقة الانود  $TiO_2$  وطبقة الكاثود مسحوق الكربون C النتائج المستحصلة من هاتين التجريبتين أثبتت إن سعف النخيل يمتلك مادة صبغية أعلى كفاءة من حيث تحسسها للضوء مما يفتح آفاق جديد لدراسة هذه الظاهرة بشكل اكبر في مجال الخلايا الشمسية وأن هذه

النتيجة ستكون ذات أبعاد إستراتيجية على المستوى الوطني على قدر ما يتصف به العراق من كونه الأول في العالم في إنتاج النخيل.

## فهرست المحتويات

الموضوع	الفهرست
الخلاصة	I
فهرست المحتويات	III
قائمة الجداول	IV
قائمة الأشكال	VI
قائمة الاختصارات أو الرموز	VIII
الفصل الأول: المقدمة	
1-1 المقدمة	1
1-2 الطاقة الشمسية	1
1-3 الخلية الشمسية المتحسسة للصبغة	2
1-3-1 آلية عمل الخلية الشمسية المتحسسة للصبغة	3
1-4 الأصباغ	4
1-4-1 أنواع الأصباغ المتحسسة	4
1-4-1-1 الأصباغ اللاعضوية	4
1-4-1-2 الأصباغ العضوية	5
1-5 مواد فجوة الحزمة المنخفضة	7
1-6 الكيمياء النظرية	8
1-6-1 النمذجة الجزيئية	9
1-7 الدراسات السابقة	10
1-8 الهدف من البحث	28
الفصل الثاني: طرائق الحساب والعمل	
2-1 طرائق الحسابات	29
2-1-1 برنامج Chembio3D ultra program 14	29
2-1-2 نوع العمل	29
2-1-3 أساليب الحساب	29
2-1-4 القواعد المستخدمة	29

29	2-1-5 معاملات التقريب
30	2-2 طرائق العمل
30	2-2-1 المواد والأدوات المستخدمة
31	2-2-2 العمل
	الفصل الثالث: النتائج والمناقشة
35	3-1 نتائج الحسابات النظرية ومناقشتها
60	3-1-1 الأطوال الموجية للصبغات
64	3-1-2 المعالجات الإحصائية
69	3-2 النتائج العملية والمناقشة
72	الاستنتاجات
73	الدراسات المستقبلية
74	المصادر
	الخلاصة باللغة الانكليزية

### قائمة الجداول

الصفحة	عنوان الجدول	رقم الجدول
6	مجموعة الانثوسيانينات والمجاميع المرتبطة بها	1-1
30	الأجهزة المستخدمة	2-1
30	المواد المستخدمة	2-2
35	مجموعة الأصباغ الطبيعية المحتوية على جزيئة كلوكوز	3-1
42	قيم الطاقات الالكترونية لجميع الاصباغ المحسوبة بطريقة DFT/B3LYP/3-21G	3-2
43	قيم الطاقات الالكترونية لجميع الاصباغ المحسوبة بطريقة HF/B3LYP/3-21G	3-3
45	قيم الطاقات الالكترونية لجميع الاصباغ المحسوبة بطريقة HF/B3LYP/3-21G	3-4

46	قيم الطاقات الالكترونية لجميع الاصباغ المحسوبة بطريقة DFT/B3LYP/3-21G	3-5
48	قيم Global electrophilicity المحسوبة بطريقة HF/B3LYP/3-21G	3-6
49	قيم Global electrophilicity المحسوبة بطريقة DFT/B3LYP/3-21G	3-7
51	قيم الطاقات الالكترونية لجميع الاصباغ المحسوبة بطريقة DFT/B3LYP/6-31G	3-8
53	قيم الطاقات الالكترونية لجميع الاصباغ المحسوبة بطريقة DFT/B3LYP/6-31G	3-9
54	قيم Global electrophilicity المحسوبة بطريقة DFT/B3LYP/6-31G	3-10
55	قيم الطاقات الالكترونية لجميع الاصباغ المحسوبة DFT/B3LYP/6-311G	3-11
57	قيم الطاقات الالكترونية لجميع الاصباغ المحسوبة DFT/B3LYP/6-311G	3-12
58	قيم Global electrophilicity المحسوبة بطريقة DFT/B3LYP/6-311G	3-13
60	أطياف الامتصاص للصبغات الطبيعية التي تم الحصول عليها بطريقة TD-DFT/B3LYP/3-21G	3-14
61	أطياف الامتصاص للصبغات الطبيعية التي تم الحصول عليها بطريقة TD-DFT/B3LYP/6-31G	3-15
63	أطياف الامتصاص للصبغات الطبيعية التي تم الحصول عليها بطريقة TD-DFT/B3LYP/6-311G	3-16
65	قيم Global electrophilicity للطرق الحسابية المختلفة	3-17
66	قيم Voc باستخدام PCBM للطرق الحسابية المختلفة	3-18
68	قيم Voc للصبغات عند استخدام $TiO_2$ في الخلية الشمسية للطرق الحسابية المختلفة	3-19

71	قيم العوامل المتغيرة للخلايا الشمسية المحضرة DSSC	3-20
----	---	------

### قائمة الأشكال

الصفحة	عنوان الشكل	رقم الشكل
3	مخطط يبين آلية عمل الخلية الشمسية DSSC	1-1
5	التركيب الكيميائي للبيبتالين	1-2
6	التركيب الكيميائي للاثنوسيانينات	1-3
7	التركيب الكيميائي للكلوروفيل	1-4
7	التركيب الكيميائي للكاروتينويد	1-5
8	التركيب الكيميائي لكل من Si_PCPDTBT, PCPDTBT	1-6
10	الصبغات المدروسة بشكل ثلاثي الأبعاد	1-7
11	أشكال الأصباغ العضوية المحضرة	1-8
12	المركب PPV بشكل ثلاثي الأبعاد	1-9
12	ارتباط المعقد بسطح TiO <sub>2</sub>	1-10
13	التركيب العام للمعقدات المحضرة	1-11
14	التركيب الكيميائي لمجموعة مركبات Fluorenone-based	1-12
14	التركيب لكيميائي لمجموعة أصباغ Coumarin-based	1-13
15	التركيب الكيميائي لصبغة Chrysanthemine	1-14
16	التركيب الكيميائي لجزينات مستندة على وحدات Thiophene, Diphenylamine	1-15
17	التركيب الكيميائي للمركبات A,B,C,D	1-16
17	التركيب الكيميائي لمجموعة أصباغ Thiazole derivatives (pyt), 4H-pyran-4-ylidene	1-17
18	التركيب الكيميائي للمركبات (a-e)	1-18
19	التركيب الكيميائي لأصباغ Porphyrin YD22-YD28	1-19
20	التركيب الحلقي والمفتوح للأوزون	1-20
21	التركيب الكيميائي لصبغة Porphyrin	1-21

21	التركيب الكيميائي لصبغة Copper Phthalocyanine	1-22
22	التركيب العام لمعقدات Ruthenium	1-23
22	التركيب العام لـThioamides	1-24
23	التركيب الكيميائي لـ2-deoxyguanosine	1-25
23	التركيب الكيميائي لمعقد النيكل	1-26
24	التركيب الكيميائي لقاعدة Salen Schiff	1-27
24	التركيب الكيميائي لـTechnetium-99m-labeled diphosphonate	1-28
25	التركيب الكيميائي لمعقدات Copper(II)	1-29
25	الشكل ثلاثي الأبعاد لمعقدات Fe(II),Cu(II),Zn(II)	1-30
26	التركيب الكيميائي لمعقد Schiff base Pd(II)	1-31
27	التركيب الكيميائي لمعقدات Iridium(III)	1-32
31	تحضير طبقة الانود	2-1
32	طبقة الانود بعد نقعها بمحلول صبغة الانثوسيانين	2-2
32	طبقة الانود بعد نقعها بمحلول صبغة الكلوروفيل	2-3
32	طبقة الكاثود	2-4
33	محلول صبغة الانثوسيانين المستخلصة	2-5
33	محلول صبغة الكلوروفيل المستخلصة	2-6
34	تقييم نظام الخلية الشمسية المحفزة بالصبغة	2-7
35	التركيب العام لمجموعة الانثوسيانينات والمجاميع المرتبطة بها	3-1
37	مجموعة الأصباغ الطبيعية غير المحتوية على جزيئة كلوكوز	3-2
38	الأشكال الثلاثية الأبعاد للأصباغ الطبيعية المتحسسة من خلال برنامج الحسابات بطريقة TD-DFT/B3LYP/6-31G	3-3
65	تكرارية قيم Global electrophilicity للطرق الحسابية المختلفة	3-4
67	تكرارية Voc/ PCBM لطرق الحسابات المختلفة	3-5
68	تكرارية Voc/ TiO <sub>2</sub> للطرق الحسابية المختلفة	3-6
69	أطياف الامتصاص للملغوف الأحمر	3-7
69	أطياف الامتصاص لسعف النخيل	3-8

**قائمة الاختصارات أو الرموز**

<b>AM1</b>	<b>Austin Model</b>
<b>B3LYP</b>	<b>Becke 3Parameter Lee Yang Par</b>
<b>CB</b>	<b>Conduction Band</b>
<b>DSSC</b>	<b>Dye Sensitive Solar Cell</b>
<b>DFT</b>	<b>Density Functional Theory</b>
<b>FTO</b>	<b>Fluorine Tin Oxide</b>
<b>FF</b>	<b>Fill Factor</b>
<b>HOMO</b>	<b>Highest occupied Molecular Obital</b>
<b>HF</b>	<b>Hartree fock</b>
<b>Isc</b>	<b>Short Circuit Current</b>
<b>I-V</b>	<b>Current-Voltage</b>
<b>IPCE</b>	<b>Incident Photon to Current conversion Efficiency</b>
<b>IET</b>	<b>Interfacial Electron Transfer</b>
<b>LUMO</b>	<b>Lowest Unoccupied Molecular Orbital</b>
<b>nm</b>	<b>Nano meter</b>
<b>PC</b>	<b>Personal Computer</b>
<b>Pin</b>	<b>Incident power</b>
<b>Pmax</b>	<b>Maximum power</b>
<b>PCBM</b>	<b>(6,6)phenyl-C61-butyric acid methyl ester</b>
<b>PE</b>	<b>PhenylEthylyene</b>



<b>PM</b>	<b>Pyridoxamine</b>
<b>PPV</b>	<b>Para Phenylenevinylene</b>
<b>TD-DFT</b>	<b>Time dependent-Density functional theory</b>
<b>Uv-vis</b>	<b>Ultraviole-Visible</b>
<b>Voc</b>	<b>Open circuit voltage</b>
<b>Vmax</b>	<b>Maximum Voltage</b>
<b>VB</b>	<b>Valance Band</b>
$\omega$	<b>Global electrophilicity</b>
$\eta$	<b>Conversion efficiency</b>
$\lambda_{max}$	<b>Maximum wave length</b>
<b>2D</b>	<b>Two dimensional</b>
<b>3D</b>	<b>Three dimensional</b>

الفصل الأول

المقدمة

## الفصل الأول

### المقدمة

#### Introduction

#### 1-1 المقدمة

تُعدّ الطاقة ضرورية لجميع مظاهر الحياة الإنسانية، فمنذ بداية القرن الماضي ارتفع مطلب الطاقة بسرعة وذلك يعود إلى تزايد أعداد السكان في العالم مما أدى إلى نضوب الوقود المستخرج [1]. إنّ استعمال الوقود المستخرج له العديد من الآثار السلبية أيضاً على البيئة والتركيز المتزايد لغازات الاحتباس الحراري بسبب احتراق الوقود المستخرج له أثر مهم في التغيرات التي تطرأ على المناخ، من المتوقع أن الاستهلاك العالمي للطاقة سوف يزداد في المستقبل القريب لذلك أصبحت مصادر الطاقة المتجددة النظيفة بيئياً مطلباً عالمياً مهماً ويعود ذلك إلى العوامل الاقتصادية والمخاوف البيئية ووفرتها في الطبيعة [2].

إنّ الطاقة المتجددة لها مسميات عديدة ك: (الطاقة البديلة، المستدامة، النظيفة، الأمانة، الهادئة، الصديقة للبيئة) وكلها (مسميات تعكس صفاتها) ومصادر لها لا تنضب ولا تنفذ على العكس تماماً من مصادر الطاقة التقليدية (البترو، الفحم والغاز الطبيعي) ومن بين مصادر الطاقة المتجددة: (الرياح، الماء، الشمس، طاقة الكتلة الحيوية، الطاقة الجوفية لحرارة باطن الأرض، طاقة المد والجزر) [3].

#### Solar energy

#### 1-2 الطاقة الشمسية

إنّ الطاقة الشمسية مصدراً مهماً للطاقة المتجددة مستقبلياً إذ إنّ الطاقة المزودة من الشمس في ساعة واحدة أكبر من استهلاك الطاقة عالمياً في سنة كاملة على أي حال، إمتصاص الطاقة الشمسية وتحويلها إلى الطاقة الكيميائية أو الكهربائية بشكل كفوء بالكلفة المنخفضة ما زالت تحدي كبيراً [4].

الخلايا الفولتاضوئية photovoltaic إحدى الأدوات المستعملة لامتصاص الطاقة الشمسية. إنّ الخلايا الفولتاضوئية التي أساسها السليكون البلوري المستعملة على نحو واسع في الوقت الحاضر ذات كفاءات تحويل كهرباء تقريبا 25%، إنّها الآن تبلغ حالة التطوير التقني ولكن الكلفة العالية للتصنيع تحدد منافستها مع مصادر الطاقة التقليدية لذا تلاقي الخلايا الفولتاضوئية المربحة اهتماماً هائلاً [5].

لقد تمت دراسة مواد لاعضوية مختلفة مثل السليكون اللابلوري , Ga As , Cd Te ؛ وظهر أنها تعطي كفاءات (10-32)% لكن سميّة و ندرة هذه المواد تؤدي الى تحديد استعمالها على نطاق واسع [6].

وفي العام 1990 دُرس على نطاق واسع تأثير الخلايا الفولتاضوئية ذات أساس عضوي لحصاد الضوء او نقل حامل الشحنة. بما إن المواد العضوية متوافرة جدا فإن هذا قد يؤدي إلى كلفة منخفضة نسبيا لصناعتها، إن كفاءتها في الوقت الحاضر أوطأ من تلك المستندة على المواد اللاعضوية [7,8].

### 1-3 الخلية الشمسية المتحسسة الصبغة (DSSC)

#### Dye Sensitized Solar Cell

إخترع البروفيسور جرازيل Grätzel الخلايا الشمسية ذات الأصباغ المتحسسة عام 1991 ، وهي تعود إلى الخلايا الفولتاضوئية التي أساسها عضوي (الجيل الثالث)، وتستعمل جزيئات لامتصاص الفوتونات [9]. وقد قام الباحث مع مجموعته بتصميم خلايا مستندة على معقد الروثينيوم ورقيقة  $TiO_2$  النانومسامي والمحفزة بأشبه الموصلات نوع (n-type DSSCs) مثل  $TiO_2$  ،  $ZnO$  وبكفاءة تحويل أكثر من 11% [10]. تتكون (n-type DSSCs) من أنود فعال ضوئي وكاثود غير فعال إذ يحقن الإلكترون من الصبغة المثارة إلى حزمة التوصيل لشبه الموصل n. وبالعكس إن أساس عمل p-type شبه الموصل بالإمكان تحفيزه أيضاً بوصفه كاثوداً ضوئياً وبالإمكان تجميعها (p-type DSSCs) ومثال عليها  $NiO$  [11].

وهذا النوع من الخلايا ممكن صنعها من مواد رخيصة متوافرة على خلاف الخلايا الشمسية التقليدية إذ تتألف من خمسة عناصر [12] :

#### 1- الزجاج الموصل الشفاف ITO,FTO

تم ترتيب قطبين من الأقطاب الموصلة الشفافة الزجاجية بهيأة سندويتش وكل طبقة لها وظيفة معينة في الخلية تطلّى إحداها بطبقة رقيقة من الدقائق النانوية لأوكسيد التيتانيوم (الانود الضوئي) والأخرى تطلّى مثلا بالبلاتين أو الكربون (القطب المساعد).

#### 2- الدقائق النانوية لـ $TiO_2$ .

#### 3- جزيئات الصبغة (معقدات الروثينيوم ، الأصباغ الصناعية ، الأصباغ الطبيعية).

#### 4- الالكتروليت $I/I_3$ .

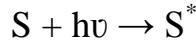
#### 5- القطب المساعد إما بلاتين أو كربون.

### 1-3-1 آلية عمل الخلية الشمسية المتحسسة للصبغة [13,14]

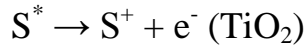
#### Mechanism of dye-sensitized solar cell

إن آلية عمل الخلايا الشمسية مشابهة لعملية التركيب الضوئي في النباتات إذ إن الضوء يتحول إلى طاقة كيميائية. الفوتونات التي تمتلك طاقات مختلفة في ضوء الشمس تصطدم بالخلية وتنفذ إلى طبقة الصبغة المتمزة على المادة الزجاجية ITO والمادة النانوية  $TiO_2$  فإذا كانت طاقة الفوتون الساقط قريبة من فجوة الطاقة لجزيئة الصبغة فذلك يعني اختلاف الطاقة بين مستويات الاوربيتالات الجزيئية الأعلى انشغالا HOMO والاوربيتالات الاوطا انشغالا LUMO والذي يؤدي إلى انتقال إلكترون واحد لجزيئة الصبغة من مستوى HOMO إلى مستوى LUMO. الإلكترون المثار يتم إدخاله إلى حزمة توصيل  $TiO_2$  من خلال ارتباطات الأواصر بين الصبغة و  $TiO_2$  ووفق الخطوات الآتية:

1- المتحسسات الضوئية تثار من الحالة المستقرة (S) إلى الحالة المثارة ( $S^*$ )



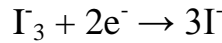
2- الإلكترونات المثارة تدخل إلى حزمة التوصيل للقطب  $TiO_2$



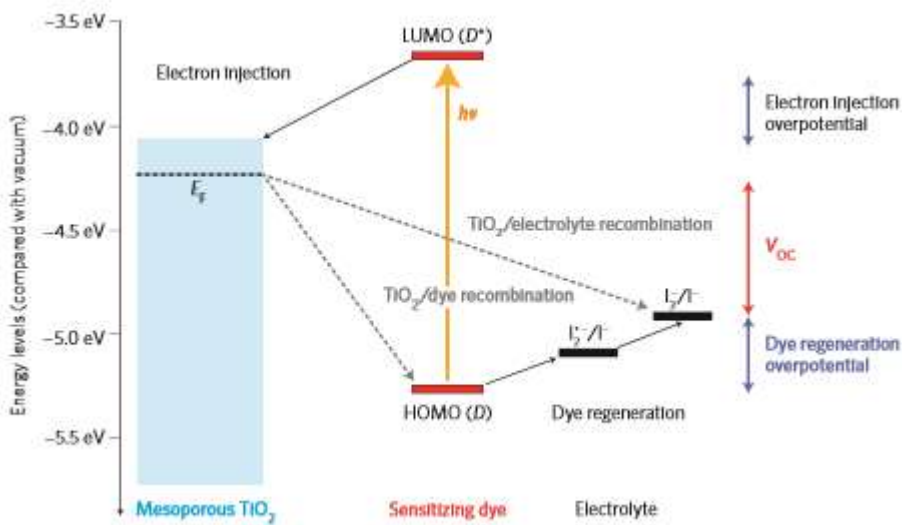
3- الإلكترونات التي تم إدخالها تنتقل بين دقائق  $TiO_2$  النانوية والقطب المساعد Auxillary.

4- المتحسسات الضوئية المؤكسدة ( $S^+$ ) تستقبل الإلكترونات من أيون وسيط الأكسدة والاختزال.

5- ينتشر وسيط الأكسدة والاختزال المؤكسد نحو القطب المساعد ويختزل إلى أيونات  $I^-$



والشكل (1-1) يمثل آلية عمل الخلية الشمسية DSSC



الشكل (1-1) مخطط يبين آلية عمل الخلية الشمسية DSSC [15]

## 1-4 الأصباغ Dyes

إن الأصباغ المتحسسة للضوء تُعد مكوناً أساسياً لامتصاص الضوء في الخلايا الشمسية المتحسسة للأصباغ؛ إذ تحول الضوء الساقط عليها إلى تيار كهربائي [16].

وأن هذه الأصباغ تحتوي على مجاميع هيدروفيلية hydrophilic ومن هذه المجاميع  $-COOH, -SH, -PO_3OH, -OH$  وهذه المجاميع تُعد مهمة جداً للتصميم الثابت للأصباغ المستعملة في الـ DSSC والأصباغ التي تمتلك مجاميع وظيفية تكون إحدى العلامات المميزة بوصفها مؤشراً جيداً للأصباغ التي يتم البحث عنها [17].

### 1-4-1 أنواع الأصباغ المتحسسة [16] Types of dyes sensitizers

تصنف الأصباغ المتحسسة إلى نوعين من الأصباغ وهي اللاعضوية والعضوية تستعمل الأصباغ اللاعضوية في الخلايا الشمسية بصورة معقد فلز كمعقدات الروثينيوم أما الأصباغ العضوية فتتألف أساساً من الأصباغ الطبيعية المستخلصة.

#### 1-4-1-1 الأصباغ اللاعضوية Inorganic dyes

وتعرف أيضاً بمتحسسات معقدات الفلز وهي تمتلك اثنين من الليكندات الرابطة والمساعدة وان الليكندات الرابطة يتم من خلالها امتصاص الليكند على سطح شبه الموصل أما الليكند المساعد وهو الأكثر أهمية إذ يتم ضبط الخصائص الشاملة للمعقد من خلاله وتتضمن المعقدات الآتية:

#### 1-معقدات الروثينيوم والاوزميوم Ruthenium and Osmium

إن معقدات الـ polypyridyl لأصباغ الروثينيوم من الأصباغ الأكثر كفاءة وتتضمن الأصناف الآتية من الأصباغ:

a. Carboxylate polypyridyl ruthenium

b. Phosponate ruthenium

c. Polynuclear bipyridyl ruthenium

وأيضاً معقدات الروثينيوم الثنائية والثلاثية Ruthenium(II) and (III) تستخدم بصفقتها متحسسات كفوءة وذلك يعود بسبب عرض حزم الامتصاص، الاستقرار الكيميائي طويل المدى لكن المشكلة تكون من ناحية غلاء ثمنه فهو من المعادن الأرضية وطرق إنتاجه تكون معقدة وكمياته قليلة [18].

أما معقدات الاوزميوم Osmium فوجدت كفاءتها أقل بـ 50% من معقدات الروثينيوم لكنها تمتاز بامتلاكها استقرارية كيميائية ضوئية كبيرة مشابهة للصبغة السوداء [19].

## 2-معقدات الفلزات الأخرى

من معقدات الفلزات الأخرى التي تستخدم متحسسات في الخلايا الشمسية هي النحاس، الحديد، الأريديوم الثلاثي، والروديوم.

### 1-4-1-2 الأصباغ العضوية Organic dyes

وتعرف أيضا بالأصباغ الطبيعية وتستخدم متحسسات في الخلايا الشمسية المتحسسة للأصباغ كالسينين [20] والكارنتين [21] والتانين [22] والكلوروفيل [23] ويمكن الحصول على الأصباغ الطبيعية من الفواكه، الأزهار، أو الأوراق. وهذه الأصباغ هي أصباغ صديقة للبيئة وتم أنتاجها منذ زمن بعيد للخلايا الشمسية المتحسسة للأصباغ.

#### 1-مصادرها

تُعدّ النباتات المصدر الرئيس للأصباغ الطبيعية؛ وتستخلص هذه الأصباغ منها لكن عملية الاستخلاص تواجه العديد من التحديات من أبرزها هو كون معظم مصادر الأصباغ هي نباتات موسمية وهناك مشكلة أخرى تتمثل في كيفية المحافظة على الصبغة بعد استخلاصها [24].

#### 2-أنواعها [16]

تقسم الأصباغ الطبيعية إلى أربع مجاميع رئيسة هي:

Betalains, Flavonoids, Chlorophylls, Carotenoids

#### 1-البيتالائينات Betalains

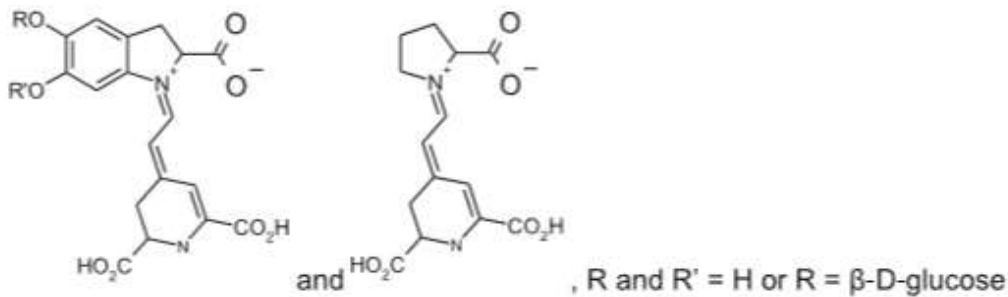
إن صبغات البيتالائين اشتقت من حامض البيتالاميك وتقسم إلى مجموعتين هما

Red betacyanins, Yellow betaxanthins

ويُعدّ البيتاسيانين ذو اللون الأحمر المركب الأكثر أهمية للبيتالائين وهو موجود في الجذور، الزهور، الثمار والأنسجة للنباتات .

وان البيتالائين قابل للذوبان في الماء والمركبات الحاوية على نتروجين والمشتقة من أمينو أسيد تايروسين وهذه الصبغة تظهر امتصاص قوي للضوء مما يجعلها تستخدم في الخلايا الشمسية.

الشكل (1-2) يبين التركيب الكيميائي للبيتالائين [25]



الشكل (1-2) التركيب الكيميائي للبيتالائين

## 2- الفلافونويدات Flavonoids

تشكل هذه المجموعة من الأصباغ مجموعة مهمة تم استخدامها في صناعة المواد الغذائية بسبب الألوان المتنوعة التي تمتلكها؛ إذ أن هذه المركبات مسؤولة عن اللون الجذاب في العديد من الثمار والخضار وتدرج ألوانها من الأبيض، إلى الأبيض المائل إلى الصفرة، إلى الأحمر، إلى الأرجواني ثم الأزرق ثم الأصفر.

يُعد الانثوسيانين هو المكون الأكثر شيوعاً في هذه المجموعة وهو مسؤول عن اللون الأحمر، البرتقالي والبنفسجي والذي يظهر في العديد من الزهور والثمار.

وتحتوي الانثوسيانينات على مجاميع الكربونيل والهيدروكسيل فعند استخدامها في الخلايا الشمسية فإن هذه المجاميع تتجه إلى السطح المسامي لطبقة  $TiO_2$  مسببة انتقال الإلكترون من جزيئة الانثوسيانين إلى حزمة توصيل الـ  $TiO_2$  [26].

الجدول (1-1) يبين مجموعة الانثوسيانينات والتركيب الكيميائي لها [27]



الشكل (1-3) التركيب الكيميائي للانثوسيانينات

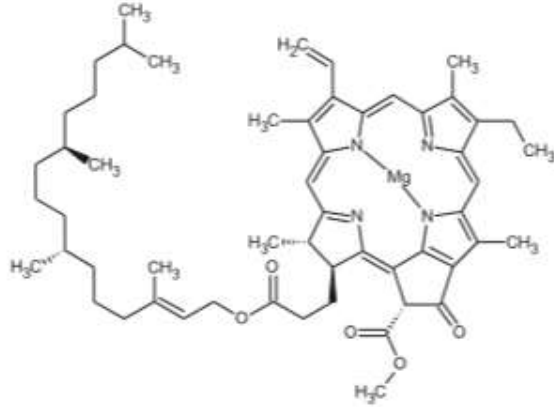
الجدول (1-1) مجموعة الانثوسيانينات والمجاميع المرتبطة بها

Anthocyanidin	R <sub>1</sub>	R <sub>2</sub>	R <sub>3</sub>	R <sub>4</sub>	R <sub>5</sub>	R <sub>6</sub>	R <sub>7</sub>	main colour	E-number
Apigeninidin	-H	-OH	-H	-H	-OH	-H	-OH	orange	
Aurantinidin	-H	-OH	-H	-OH	-OH	-OH	-OH	orange	
Capensinidin	-OCH <sub>3</sub>	-OH	-OCH <sub>3</sub>	-OH	-OCH <sub>3</sub>	-H	-OH	bluish-red	
Cyanidin	-OH	-OH	-H	-OH	-OH	-H	-OH	magenta	E163a
Delphinidin	-OH	-OH	-OH	-OH	-OH	-H	-OH	purple, blue	E163b
Europinidin	-OCH <sub>3</sub>	-OH	-OH	-OH	-OCH <sub>3</sub>	-H	-OH	bluish red	
Hirsutidin	-OCH <sub>3</sub>	-OH	-OCH <sub>3</sub>	-OH	-OH	-H	-OCH <sub>3</sub>	bluish-red	
Luteolinidin	-OH	-OH	-H	-H	-OH	-H	-OH	orange	
Pelargonidin	-H	-OH	-H	-OH	-OH	-H	-OH	orange, salmon	E163d
Malvidin	-OCH <sub>3</sub>	-OH	-OCH <sub>3</sub>	-OH	-OH	-H	-OH	purple	E163c
Peonidin	-OCH <sub>3</sub>	-OH	-H	-OH	-OH	-H	-OH	magenta	E163e
Petunidin	-OH	-OH	-OCH <sub>3</sub>	-OH	-OH	-H	-OH	purple	E163f
Pulchellidin	-OH	-OH	-OH	-OH	-OCH <sub>3</sub>	-H	-OH	bluish-red	
Rosinidin	-OCH <sub>3</sub>	-OH	-H	-OH	-OH	-H	-OCH <sub>3</sub>	red	
Triacetidin	-OH	-OH	-OH	-H	-OH	-H	-OH	red	



### 3- الكلوروفيلات Chlorophylls

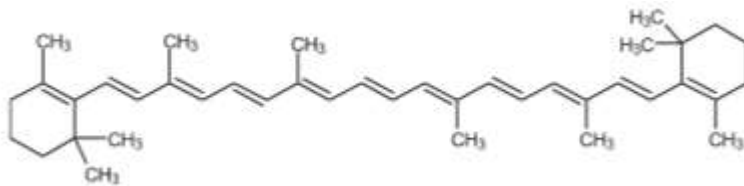
يمثل الكلوروفيل متحسس ضوئي فعال في عملية التركيب الضوئي في النباتات الخضراء وهو مركب فعال يمتاز بلونه الأخضر ويستخدم في الخلايا الشمسية المتحسسة للأصباغ [28]. والشكل (1-4) يبين التركيب الكيميائي للكلوروفيل [25].



الشكل (1-4) التركيب الكيميائي للكلوروفيل

### 4- الكاروتينويدات Carotenoids

صبغات عضوية توجد في كروموبلاست النباتات والكائنات الحية الدقيقة كالتحالب وبعض أنواع الفطر والبكتريا [29] وهذه الصبغات مسؤولة عن اللون الأصفر، البرتقالي والأحمر للعديد من الأزهار، الفواكه، الخضراوات، الجذور والأوراق الخريفية [30]. والشكل (1-5) يبين التركيب الكيميائي للكاروتينويد [25].



الشكل (1-5) التركيب الكيميائي للكاروتينويد

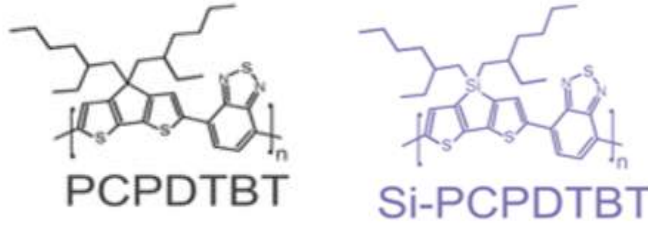
## 1-5 مواد فجوة الحزمة المنخفضة Low Band Gap Materials

يتم تصميم خلايا الطاقة الشمسية ذات الكفاءة العالية من مجموعة من المركبات الكيميائية ذات مواصفات خاصة تستلزم قلة الفرق الطاقوي بين HOMO-LUMO وتستخدم عادة البوليمرات الحاوية على وحدات متعاقبة من مجموعات مانحة للإلكترونات ومجموعات ساحبة للإلكترونات فقد حضر الباحث Havinga ومجموعته بوليمرات من حامض squaric وحامض croconic كمواد مستقبلية (ساحبة للإلكترونات) وصبغات cyanine كمواد مانحة (دافعة للإلكترونات) وبنمط بوليمري متعاقب تمكن من خلاله الحصول على قيمة واطئه للفرق الطاقوي بلغت

polythiophenes من مجموعته بوليمرات من Zhang وقد استخدم الباحث (1.2-0.5) eV بصفته وحدات متعاقبة من المجاميع الواهبة من الثايوفين الحاوية على الأمين أو المثوكسي وأخرى مستقبلة تحتوي على مجاميع الكيتون أو النايترو [31].

أما الباحث Chan وزملاؤه نشروا في سنة 2008 بوليمرات مستقرة تحتوي على مجاميع phenyl متبادلة مع أنصاف Thienopyrazine والذي له حزمة فجوة ضيقة مقدارها 1.47eV وتم الحصول على كفاءات لخلايا شمسية تزيد عن 0.63% [32].

إذ يتم الحصول على كفاءة عالية للخلايا الشمسية من خلال صنع مواد ذات فجوة حزمة منخفضة ففي بداية سنة 2010 استخدمت PCPDTBT, Si\_PCPDTBT بصفته بوليمرات مزدوجة ذات فجوة حزمة منخفضة وهي مواد شائعة الاستخدام وملائمة لخصائص الامتصاص في منطقة تحت الحمراء القريبة والموضحة في الشكل (1-6) [33].



الشكل (1-6) التركيب الكيميائي لكل من PCPDTBT, Si\_PCPDTBT

## 1-6 الكيمياء النظرية [34]Theoretical Chemistry

الكيمياء النظرية تعرف على أنها الترابط بين الطرق الرياضية والقوانين الأساسية للفيزياء لدراسة الخواص الكيميائية. فالجزيئات تحتوي على ذرات. وهذه بدورها تحتوي على بروتونات والكترونات ونواة. وهناك قوى كولومب تربط بين كل هذه المكونات وتختلف الجزيئات بالترتيب الهندسي لذراتها (geometrical positions) وكذلك أشكالها الفراغية (conformations) وتتبنى الكيمياء النظرية دراسة ما يلي:

- 1- الأشكال الهندسية للجزيئة الأكثر استقرارا.
- 2- الطاقات النسبية.
- 3- مجموعة من الصفات مثل القطبية وعزم ثنائي القطب وأخرى.
- 4- كيفية تفاعلات الجزيئات المختلفة.
- 5- صفات وتراكيب الجزيئات مثل أبعاد الاوصر وقيم الزوايا.
- 6- الخصائص الطيفية مثل NMR و IR و UV-Visible.

**1-6-1 النمذجة الجزيئية [35]Molecular Modeling**

وتستخدم بشكل واسع لمعالجة الأنظمة الكيمياءوية والبيولوجية لفهم ودراسة سلوكها وصفاتها ولها تطبيقات كثيرة في حقول الكيمياء وعلوم المواد والعلوم الهندسية وخصوصا الهندسة الكيميائية والعلوم الطبية وغيرها .

هناك العديد من الطرق الحسابية التي تقع ضمن تصنيف Molecular Modeling وبالإمكان تناول المهم والشائع منها وكما يأتي:

**1-طريقة هارترتي فوك (HF) Hartree Fock**

في هذه الطريقة وعلى الرغم من عنصر السرعة في تنفيذ حساباتها إلا أن من مساوئها هو إهمال تناثرات إلكترون - إلكترون مما يجعل الطاقات المحسوبة وفق هذه الطريقة أحيانا تكون أعلى من القيم الفعلية.

**2-الطرق شبه التجريبية Semi-empirical**

وتتطلب قيم تجريبية وتمتاز بسرعة تنفيذ حساباتها ولكن بدقة اقل وهي صالحة للجزيئات والأنظمة الكبيرة ومن هذه الطرق AM1 و MNDO و PM3.

**3-طريقة Density Functional theory (DFT)**

إن طريقة DFT تمتاز بأنها ذات دقة عالية في تنفيذ الحسابات وبالإمكان استخدامها في وصف حالة ground state للفلزات وشبه الموصلات والعوازل والأنظمة الكبيرة مثل البروتينات والكربون نوع nanotubes ونظرا لأهميتها فإن هناك العديد من القواعد المقترنة بها (basis set) والتي تحدد صلاحيتها لكل منظومة قيد الدراسة وأدناه موجز لتلك القواعد:

$$\{3-21G, 3-21G^*, 3-21+G, 3-21+G^*, 4-21G, 4-31G, 6-21G, 6-31G, 6-31G^*, 6-31+G^*, 6-311G, 6-311G^*, 6-311+G^*\}$$

ويعتمد اختيار هذه القواعد على عدة عوامل منها دالة الاستقطاب ودالة الانتشار ونوع الذرة وغلافها التكافؤي وإمكانية تكوين أوامر هيدروجينية[36-38]، وكلما تصاعدت الأرقام في القواعد أعلاه اتجهت الحسابات الى الدقة والدقة المتناهية وهذا على حساب الوقت المستغرق لتنفيذ الحسابات وخصوصا الحواسيب الشخصية PC وقد تستغرق حساب جزيئة معينة عدة اسابيع.

## 1-7 الدراسات السابقة

## 1-7-1 البحوث السابقة الخاصة بتطبيق برامجيات Molecular Modeling في دراسة الخلايا الشمسية

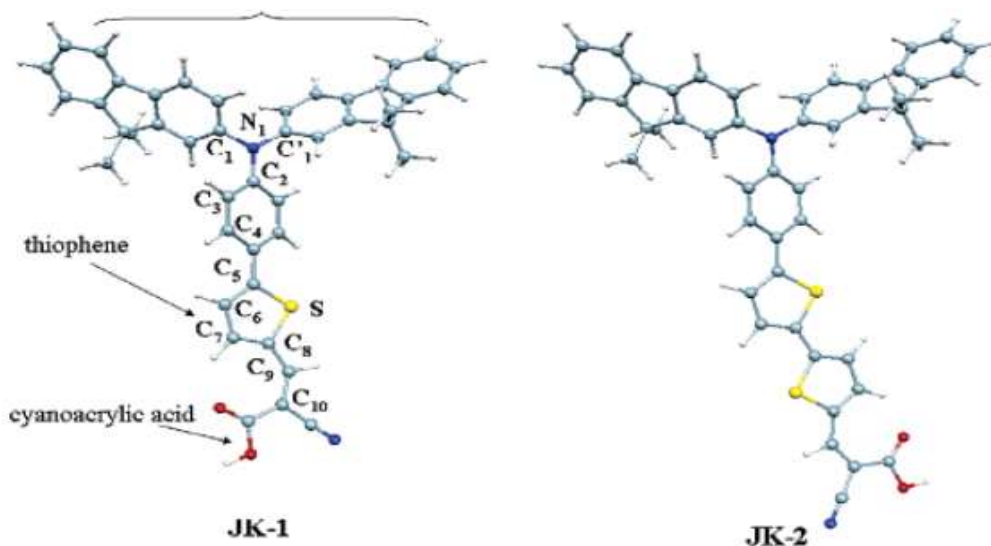
قام الباحث Sanghoon , L. وجماعته [39][2006] بتحضير مجموعة جديدة من المتحسسات العضوية من خلال ربط جسور بين المجموعة المانحة والمجموعة المستقبلة وذلك بإضافة مجموعة Thiophene جسراً في هذا البناء وتأثير ذلك على صفة molar extinction coefficient للصبغات قيد البحث .

الصبغات المدروسة هي:

[3-{5- [N,N-bis(9,9-dimethylfluorene-2-yl)phenyl]-thiophene-2-yl}-2-cyano-acrylic acid (JK-1)]

[3-{5'-[N,N-bis- (9,9-dimethylfluorene-2-yl)phenyl]-2,2'-bisthiophene-5-yl}-2-cyano-acrylic acid (JK-2)]

والمبينة في الشكل (1-7)



الشكل (1-7) الصبغات المدروسة بشكل ثلاثي الأبعاد

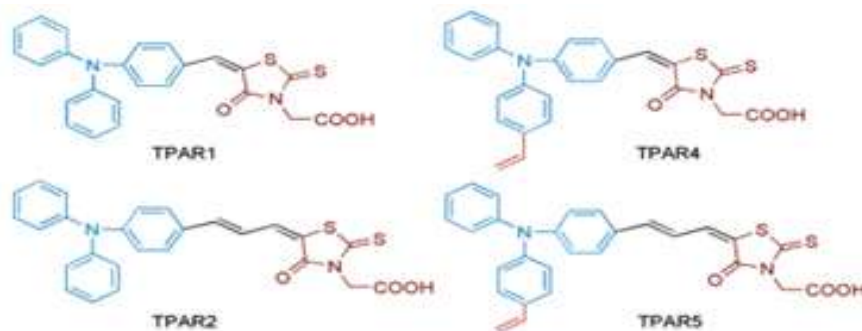
حصيلة هذه الجسور هي زيادة كفاءة المواصفات البصرية لهاتين المادتين؛ فقد تم الحصول على مواصفة عالية وأن IPCE بلغت 91% .

( IPCE وهي تمثل مقياس للفوتون الساقط الى كفاءة تحويل التيار )

في حين بلغت نسبة التحويل ( power conversion efficiency ) 8.01%

إذ استخدم الباحث طريقة \*TD-DFT/B3LYP/6-31G في حسابات الحالة المثارة والمواصفات الطيفية للصبغات المستخدمة تعزيزاً للنتائج العملية المستحصلة.

قام الباحث Mao, L. وجماعته [40][2007] بتحضير سلسلة من مشتقات (TPA-triphenylamine) ومعرفة خصائصها الكهروكيميائية والضوئية. الأصباغ العضوية المحضرة والمستندة على TPA هي كل من (TPAR1,TPAR2,TPAR4 and TPAR5) والمبينة في الشكل(1-8)

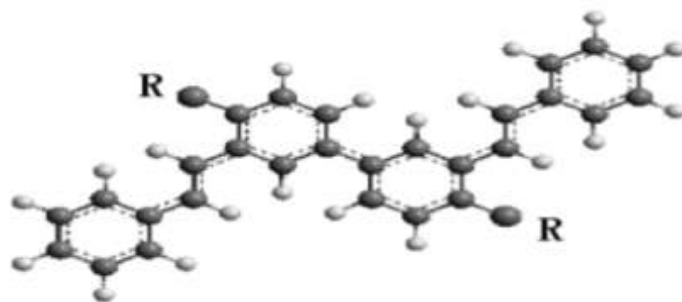


الشكل (1-8) أشكال الأصباغ العضوية المحضرة

وقد استخدمت في تطبيقات الخلايا الشمسية المتحسسة والتي تستخدم مادة شبه الموصل  $TiO_2$  من نوع الدقائق النانوية.

إذ تحسن أداء هذه الصبغات وكفاءتها بإضافة مجموعة  $CH_2=CH-$  الى الوحدة المانحة مما يؤدي الى زيادة الكثافة الالكترونية لهذه الوحدة وبالتالي زيادة كفاءتها الضوئية (photovoltaic performance) إضافة الى محاولة الباحث توسيع مدى الأواصر المتعاقبة  $\pi$ -conjugated بزيادة أطوال مجموعة وحدة الميثين (methine unit). نتائج هذا البحث تمخضت بالحصول على أعلى مواصفة ممكنة في صبغة TPAR4 لاستخدامها في الخلايا الشمسية حيث بلغت IPCE 81%، استخدم الباحث طريقة DFT/B3LYP/6-31+G(d) في حسابات HOMO-LUMO لتعزيز نتائجه العملية.

قام الباحث Liang, D. وجماعته [41][2007] بتطبيق نظرية دالة الكثافة والطريقة شبه التجريبية AM1 لدراسة التراكيب الالكترونية والخصائص الطيفية للمادة: PPV(paraphenylenevinylene) وتأثير المجاميع المعوضة Substituents (والمقصود بها R) في الشكل(1-9) على تغيير الصفة الرئيسية للصبغات المستخدمة في الخلايا الشمسية وهي LUMO-HOMO energy gaps إن كانت مجاميع دافعة مثل الالكيل أو تخضع لتأثير التعاقب أو الإعاقبة الفراغية conjugated effect and steric effect.



الشكل (1-9) المركب PPV بشكل ثلاثي الأبعاد

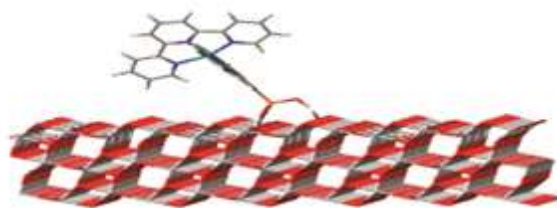
قامت الباحثة Elena, J. وجماعتها [42][2009] بإجراء دراسات انتقال الإلكترونات السطحية (IET) في سطوح  $TiO_2$  الفعالة مع معقدات جزيئات البايريدين الشكل (1-10)

(1) pyridine-4-phosphonic acid

(2)  $[Ru(tpy)(tpy(PO_3H_2))]^{2+}$

(3)  $[Ru(tpy)(bpy)(H_2O)-Ru(tpy)(tpy(PO_3H_2))]^{4+}$

إذ إن: (tpy) = 2, 2':6,2''terpyridine; (bpy) = 2, 2'-bipyridine

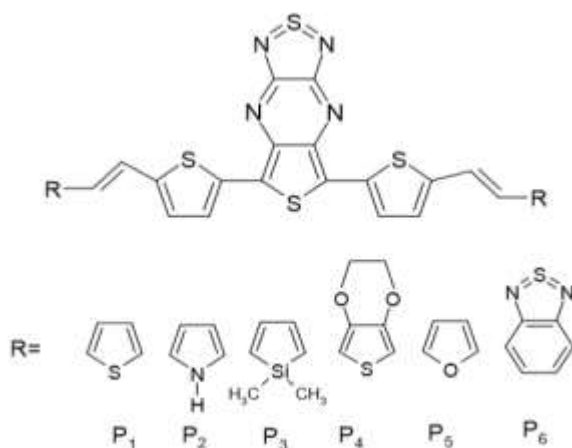


الشكل (1-10) ارتباط المعقد بسطح  $TiO_2$

وهي تُعدّ متحسسات ضوئية حيث قامت الباحثة بدراسة انتقال الإلكترون السطحي لسلسلة جزيئات البايريدين المذكورة أعلاه والممتزة على سطح  $TiO_2$  من خلال استخدام phosphonic acid بوصفها مجموعة رابطة ومن خلال إجراء الحسابات النظرية TD-DFT اقترح المعقد  $Ru[(tpy)(tpy(PO_3H_2))]^{+2}$  كمعقد يمتلك حالات إثارة أحادية الاكثر شدة والتي تذهب (IET:interfacial electron transfer) أي إن الإلكترون سيستغرق فترة زمنية تقدر

1-10 ps لكي يدخل الى سطح شبه الموصل  $TiO_2$ .

قام الباحث Bouachrin, M. وجماعته [43][2010] بتحضير ستة معقدات معتمدة على thiadiazolothienopyrazine وإجراء الحسابات النظرية لها بتطبيق نظرية DFT وهذه المعقدات في الشكل (1-11)



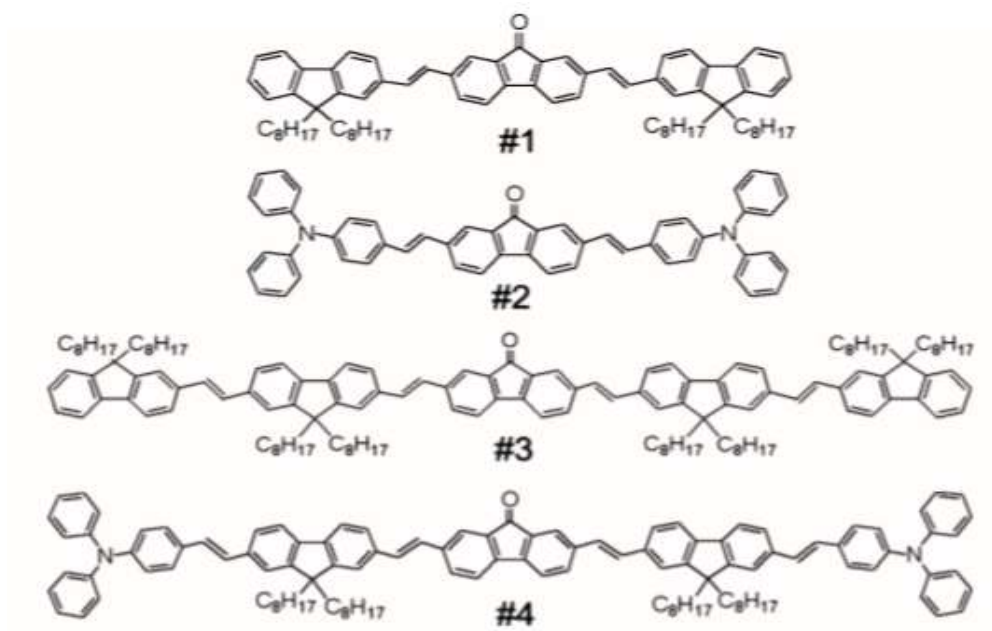
الشكل (1-11) التركيب العام للمعقدات المحضرة

ومن خلال الحسابات النظرية التي أجريت على هذه المعقدات تم الحصول على طاقة مستويات HOMO و LUMO إذ بينت النتائج المستحصلة إمكانية استخدام هذه المواد كمتحسسات ضوئية جيدة في الخلايا الشمسية بسبب إمكانية نقل الإلكترون من الجزيئة المثارة الى حزمة توصيل PCEM.

قام الباحث Belghiti , N. وجماعته [44][2012] بإجراء الحسابات الكيميائية الكمية بطريقة DFT/B3LYP على مجموعة مركبات مستندة على الانثراسين وان تأثير المجاميع المعوضة على المركبات وعلى الخصائص الالكترونية-الضوئية لهذه المواد هي HOMO, LUMO, Egap وكذلك Voc فولتية الدائرة المفتوحة جعلتها مرشحات جيدة بوصفها متحسسات ضوئية للخلايا الشمسية.

قام الباحث Jesús, B. وجماعته [45][2012] بإجراء دراسة نظرية على معقد النحاس polypyridine (Cu(I) biquinoline) حسابات DFT, TD-DFT تم إجراؤها على المعقد وتم الحصول على أعلى قمم الأطوال الموجية للامتصاص ومقارنتها مع النتائج العملية إذ وجد الباحث إن مستوى حسابات M06/LANL2DZ + DZVP يعطي أفضل نتيجة تقريبية.

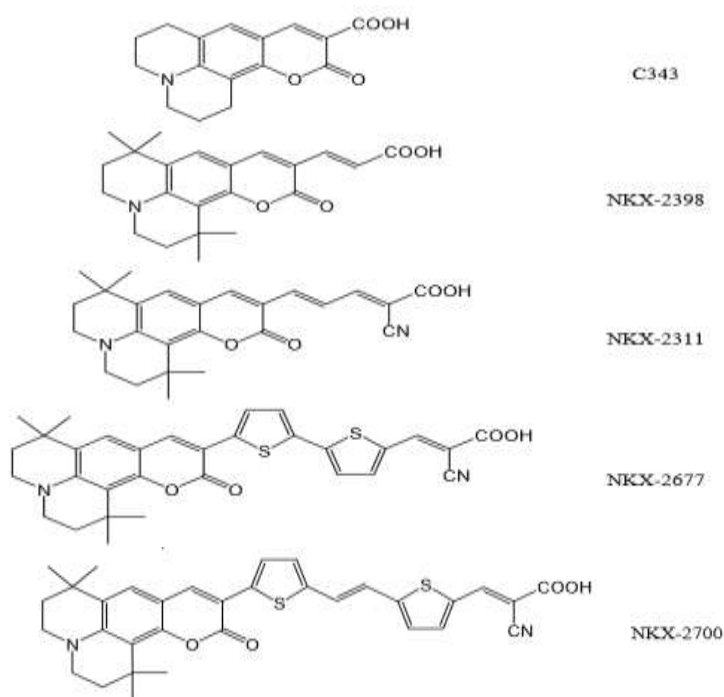
قام الباحث Tian-hao, H. وجماعته [46][2013] بدراسة تأثير  $\pi$ -spacer والمجاميع الواهبة للإلكترون على السلوك الفيزيائي الضوئي لـ Oligomers المتعاقبة الخطية لـ fluorenone-based الموضحة في الشكل (1-12)



الشكل (1-12) التركيب الكيميائي لمجموعة مركبات Fluorenone-based

إذ بينت النتائج التي حصل عليها الباحث إن fluorenone-based التي تمتلك the triphenylamine كمادة واهبة لها القابلية على وهب الإلكترون بصورة أقوى من المركبات الأخرى للقاعدة وإن الحسابات النظرية قد أنجزت من خلال طريقة TD-DFT/6-31G(d).

قام الباحث Corneliu, I. وجماعته [47][2013] بإجراء دراسة نظرية على أصباغ Coumarin-based والتي تمتلك التراكمات الجزيئية في الشكل (1-13)



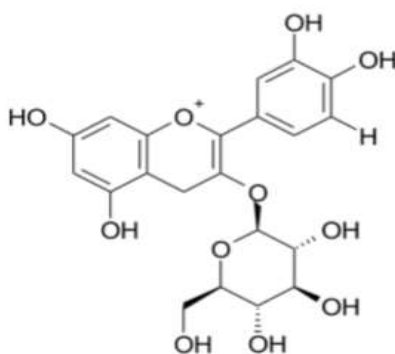
الشكل (1-13) التركيب الكيميائي لمجموعة أصباغ Coumarin-based



إذ بينت النتائج المستحصلة لصبغة NKX-2311 تأثير الجسور المتعاقبة وكذلك وجود cyanoacetic acid على زيادة سرعة انتقال الإلكترون وبالتالي زيادة كفاءة التحويل والتي تساوي 5.2% وهي أعلى من بقية الأصباغ الأخرى, الحسابات النظرية أجريت باستخدام طريقة DFT,TD-DFT فمنها تم معرفة التراكيب الإلكترونية وأطياف UV-Vis للأصباغ المدروسة.

قام الباحث Muhammad, R. وجماعته [2014][48] بدراسة نظرية من خلال استخدام DFT,TD-DFT على مجموعة من الأصباغ القديمة وهي brazilin, brazilein, haematoxylin, haematein إذ تبين انه مجاميع الهيدروكسيل لها القابلية على الارتباط مع شبه الموصل إضافة الى الغيمة الإلكترونية للأصباغ الأربعة وعند مستوى LUMO وجدت في مواقع قريبة مما يجعل سهولة إدخال الإلكترون الى شبه موصل الاوكسيد المعدني مما يجعل هذه الأصباغ ذات إمكانية جيدة في تطبيقات الخلايا الشمسية المتحسسة للأصباغ.

قام الباحث Rody, S. وجماعته [2014][49] بإجراء مقارنة بين العديد من الأنظمة للتنبؤ الحسابي للحصول على أعلى قمة امتصاص لصبغة Chrysanthemine وهي صبغة طبيعية تستخدم في الخلايا الشمسية المتحسسة للأصباغ وتركيبها في الشكل(1-14)

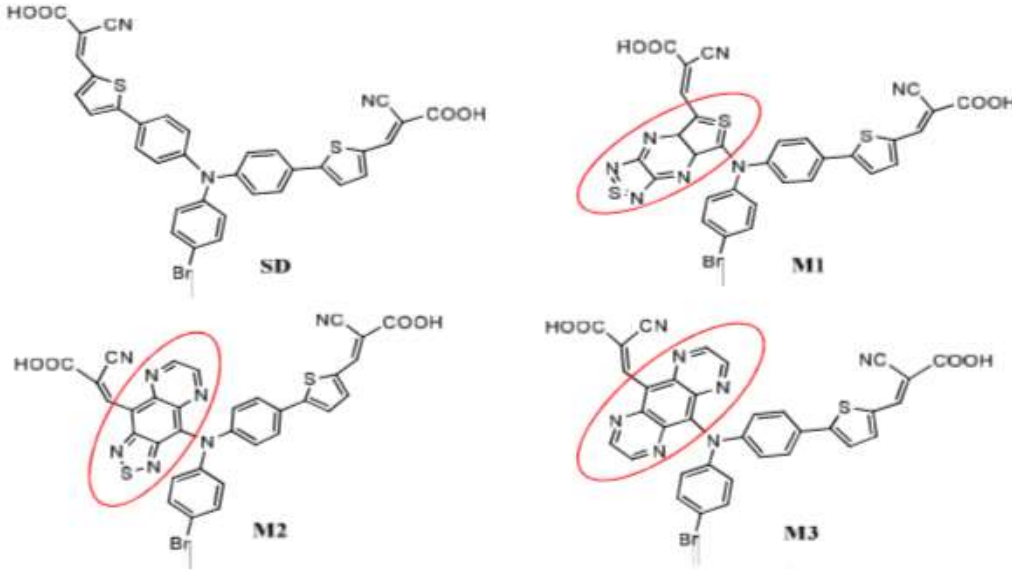


الشكل(1-14) التركيب الكيميائي لصبغة Chrysanthemine

الباحث هنا قام بدراسة أربعة أنظمة مختلفة للحصول على أفضل قيمة تقريبية لـ  $\lambda_{max}$  مع النتائج العملية والنتائج المستحصلة بينت إن مجموعة قواعد B3LYP, M06, PBE0 أعطت أفضل قيم تقريبية لأعلى قمة امتصاص للصبغة.

قام الباحث Amine, M. وجماعته [2014][50] بتحضير جزيئات صغيرة متعاقبة مستندة على وحدات Thiophene , Diphenylamine تم حساب طاقة فجوة الحزمة لها وتمثل الفرق بين

مستويات HOMO و LUMO إذ تبين انها واطئة وكذلك دراستها بطريقة الكيمياء الكمية من خلال DFT لمعرفة إمكانية استخدامها في الخلايا الشمسية وتمتلك التركيب في الشكل (1-15)



الشكل (1-15) التركيب الكيميائي لجزيئات مستندة على وحدات

### Thiophene, Diphenylamine

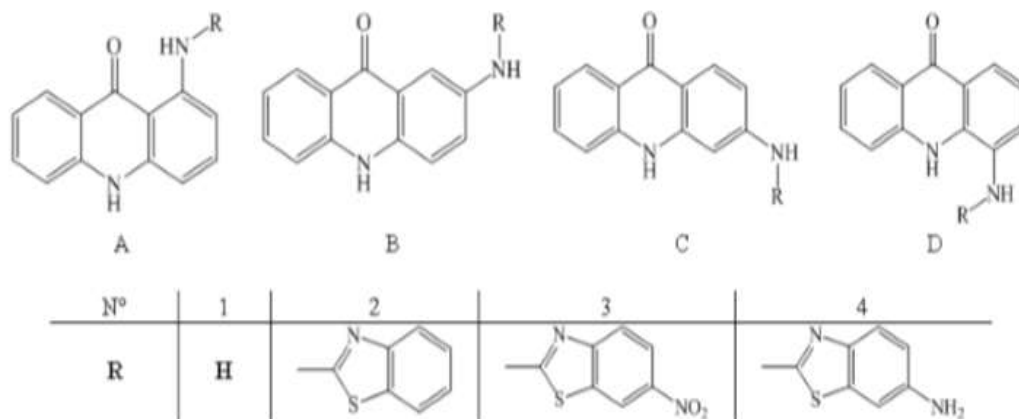
والجزيئات المؤشر عليها في الشكل أعلاه هي:-

- ThiadiazoloThienoPyrazine (TTP)
- BenzoThiadiazole-Pyrazine (BTP)
- BenzoPyrazine-Pyrazine (BPP)

تحتوي على مجاميع  $\pi$ -conjugated إذ تعمل على نقل الشحنة من إحدى المجاميع الرابطة الى سطح شبه الموصل و لها تأثير على الخصائص الالكترونية والضوئية للجزيئات فأظهرت النتائج أن المجموعتين (BTP, BPP) هما الأفضل في عملية نقلهما للشحنة لأحد المجاميع المرتبطة بسطح شبه الموصل.

قام الباحث Abram, T. وجماعته [51][2014] بإجراء دراسة نظرية باستخدام DFT على مجموعة جزيئات Pi-Conjugated والمعتمدة على Pyrimidine Derivative وكان للمجاميع المعوضة تأثير واضح على التركيب وعلى الخصائص الالكترونية والضوئية للمركبات ونتيجة لهذا التأثير فان جميع هذه الجزيئات ممكن استخدامها في الخلايا الشمسية بسبب إمكان انتقال الإلكترون من الجزيئات الى حزمة توصيل PCBM.

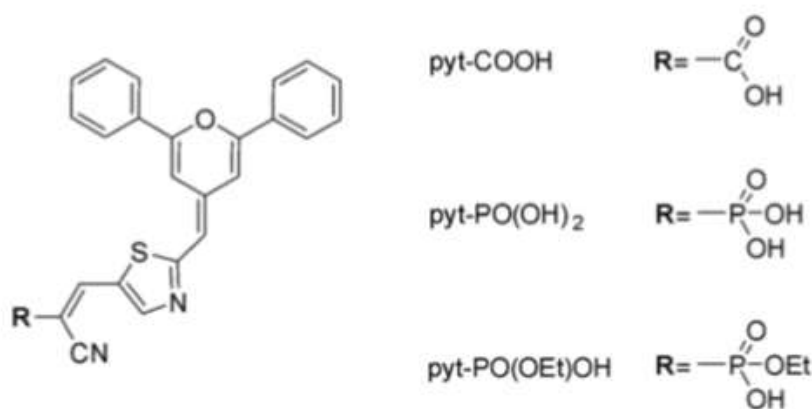
قامت الباحثة Hayat, S. وجماعتها [52][2014] بإجراء دراسة نظرية عن التركيب والخصائص photovoltaic لستة عشر مركباً متعاقباً معتمدة على الـ Acridine الشكل (1-16)



الشكل (1-16) التركيب الكيميائي للمركبات A,B,C,D

وإن حسابات الكيمياء الكمي اعتمدت على نظرية DFT بطريقة B3LYP وبقاعدة 6-31G(d) لكل الذرات المستخدمة وتم مناقشة تأثير المجاميع المعوضة المرتبطة الى حلقة الاكريدن على الخصائص الهندسية والالكترونية للمركبات وقد بينت النتائج التأثير الواضح لهذه المجاميع على الخصائص التركيبية والضوئية لهذه المواد لذا تم اقتراحها في تطبيقات الخلايا الشمسية.

قام الباحث Antonio, A. وجماعته [53][2015] بتحضير مجموعة أصباغ هي Thiazole derivatives (pyt)·4H-pyran-4-ylidene والمبينة في الشكل (1-17) ودراسة خواصها الالكترونية والضوئية نظريا



الشكل (1-17) التركيب الكيميائي لمجموعة أصباغ

Thiazole derivatives (pyt)·4H-pyran-4-ylidene

إن صبغة pyt تحتوي على مجموعتين رابطتين هما carboxylic acid, phosphonic acid وتعمل هذه المجموع على جعل Voc للخلية عالي مما يجعلها كفوءة الاستخدام في الخلايا الشمسية.

قام الباحث Joseph, M. وجماعته [54][2015] بدراسة نظرية على مجموعة من الأصباغ الطبيعية التالية والمبينة في الشكل (1-18)

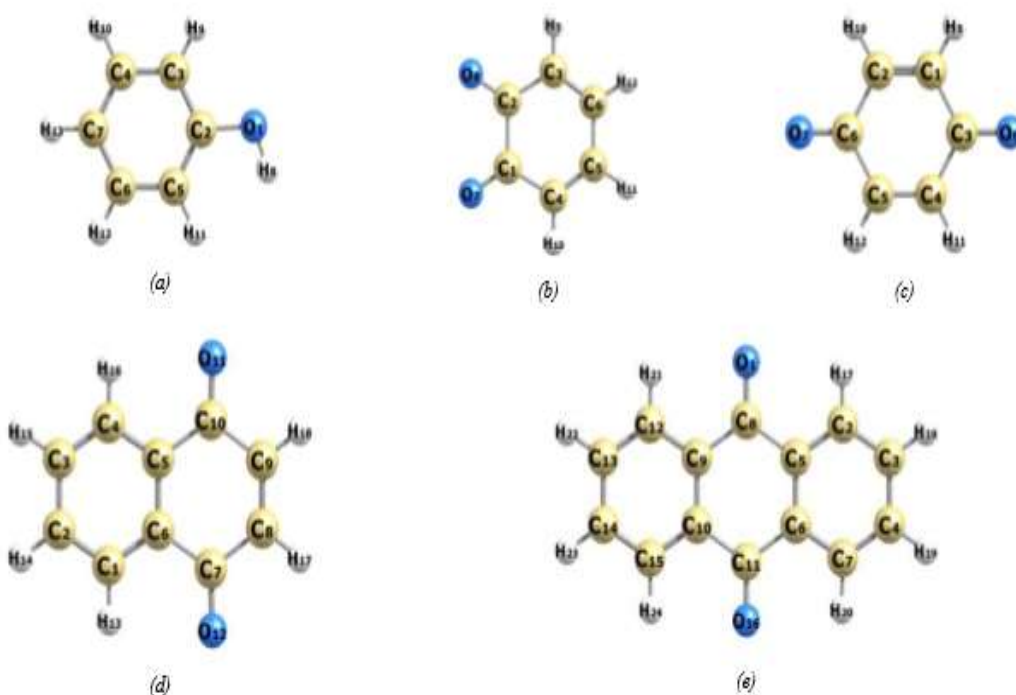
A- (Phenol)

B- (1,2-benzoquinone)

C- (1,4-benzoquinone)

D- (1,4-naphthoquinone)

E- (9,10-antraquinone)



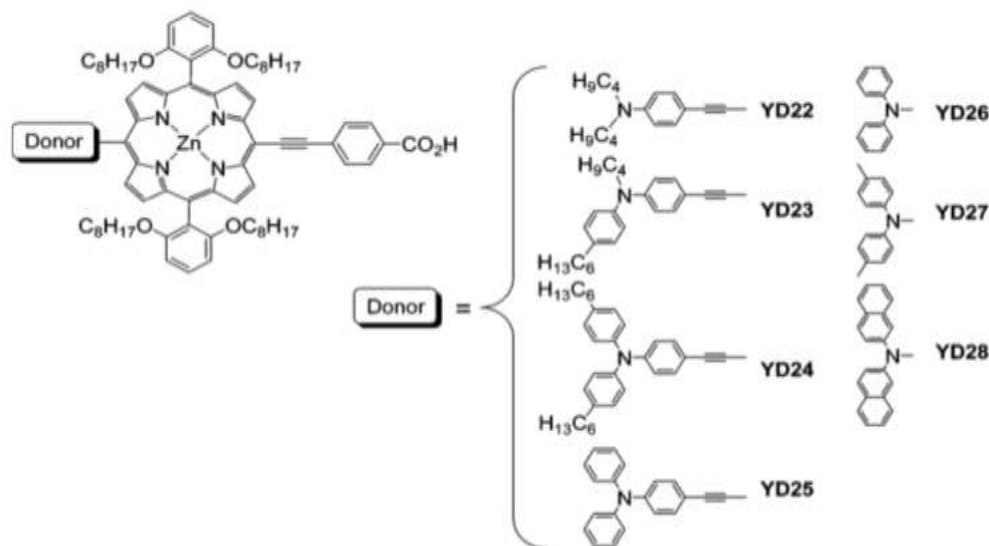
Optimized geometrical structures of the species: (a) phenol; (b) 1,2-benzoquinone; (c) 1,4-benzoquinone; (d) 1,4-naphthoquinone; (e) 9,10-antraquinone.

الشكل (1-18) التركيب الكيميائي للمركبات (a-e)

الحسابات أجريت باستخدام DFT, TD-DFT وان الأطياف الاهتزازية والالكترونية حسبت من خلال استخدام مجموعة قواعد 6-311++G(d,p) والنتائج المستحصلة لحزم الامتصاص للجزيئات بينت إن صبغة 1,2-benzoquinone هي مرشح أفضل من بقية الأصباغ للاستخدام في الخلايا الشمسية لاملاكها امتصاصية جيدة للضوء في المنطقة المرئية .

قام الباحث Hsien-Hsin, C. وجماعته [2016][55] بتحضير سلسلة أصباغ Zinc Porphyrin YD22–YD28 المبينة في الشكل (1-19) ودراستها نظريا باستخدام

TD-DFT



الشكل (1-19) التركيب الكيميائي لأصباغ Porphyrin YD22–YD28

إذ بينت النتائج التي حصل عليها الباحث إن الأصباغ YD22–YD25 تمتلك كفاءة تحويل أعلى من بقية الأصباغ وذلك يعود الى وجود مجموعة PhenylEthyne (PE) الجسرية؛ إذ إن لها تأثيرات على الخواص الالكترونية والضوئية لهذه الجزيئات مما رفع من كفاءتها كمتحسسات في الخلايا الشمسية.

الباحث P. Kyung-Hee [56] من خلال دراسته بعض الأزهار [gardenia and cochineal] بين إن كفاءة صبغات هذه الأزهار كانت نتيجة للمدى الواسع للأطوال الموجية التي سجلت.

الباحث A. Hernández [57] وجماعته ومن خلال النتائج التي تم الحصول عليها وجدوا بان الخلية يكون لها القابلية الأوسع لامتصاص الفوتونات التي تمتلك طاقات مختلفة نتيجة الاختلاف في الأطوال الموجية.

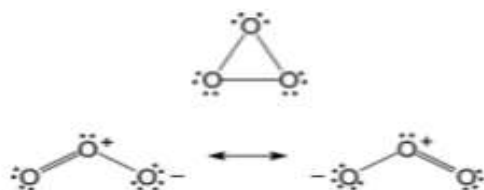
الباحث I. Mohammed [58] وجماعته ومن خلال دراسته مجموعة من الصبغات الطبيعية وهي Pawpaw Leaf and Flame Tree Flower اكتشف إن الامتصاصية الضعيفة للصبغات

الطبيعية في المنطقة red region تؤثر سلبا على كفاءة الصبغات كمتحسسات في الخلايا الشمسية، والمنطقة الحمراء تقع ضمن المدى 620-750 nm.

الباحث Bourass, M. وجماعته [59] وجدوا فيما يخص العلاقة بين الأطوال الموجية والتعاقب conjugated إن الامتصاصية تزداد بزيادة طول النظام المتعاقب conjugated length.

## 1-7-2 البحوث السابقة الخاصة بتطبيق برامجيات Molecular Modeling في دراسة تفاعلات المعقدات الكيميائية

قام الباحث Beate, F. وجماعته [60][2004] بدراسة نظرية لمعقدات العناصر الانتقالية التي تحتوي على الأوزون والثايوزون الحلقي والمفتوح كليكند والشكل (1-20) يبين التركيب الحلقي والمفتوح للأوزون

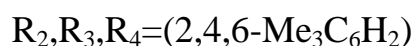


الشكل (1-20) التركيب الحلقي والمفتوح للأوزون

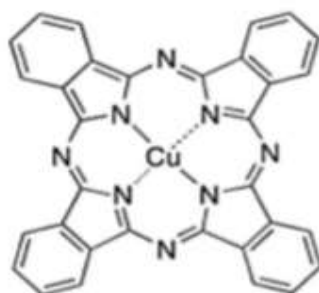
إذ بينت الدراسة النظرية التي أجراها الباحث إن الشكل الحلقي للأوزون أكثر استقرارا بقليل من الشكل المفتوح من خلال معرفة الخصائص والتراكيب الإلكترونية بطريقة DFT /6-31G من خلال برنامج Gaussian 03.

قام الباحث Mihaylov, T. وجماعته [61][2006] بدراسة نظرية باستخدام DFT ودراسة طيفية لتأصر فلز-ليكند بين (HCCA)coumarin-3-carboxylic acid وLa(III) إذ إن النتائج العملية اقترحت صيغة للمعقد هي  $La(CCA)_2(NO_3)(H_2O)_2$  وان التحليل الاهتزازي المفصل للفلز والليكند والمعتمد على الترددات العملية والمحسوبة يؤكد نمط تأصر فلز-ليكند الذي تم اقتراحه.

قام الباحث Michael, G. وجماعته [2010][62] باستخدام مجموعة أصباغ Porphyrins و phthalocyanines لبيان مدى كفاءتهما في تطبيقات الخلايا الشمسية المتحسسة للصبغ حيث تمتلك صبغة Porphyrins التركيب العام الشكل (1-21)



الشكل (1-21) التركيب الكيميائي لصبغة Porphyrin



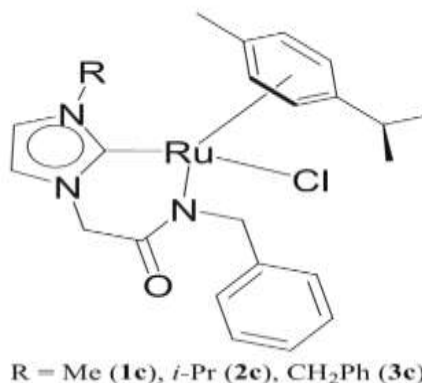
الشكل (1-22) التركيب الكيميائي لصبغة Copper Phthalocyanine

إذ بينت النتائج المستحصلة من صبغة Porphyrins الحصول على كفاءة تحويل 11% مما يعني كفاءتها في استخدامات الخلايا الشمسية.

قام الباحث Sachin, K. وجماعته [2011][63] بتحضير سلسلة معقدات جديدة لـ Ruthenium هي



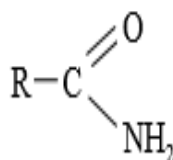
مبينة في الشكل (1-23)



الشكل (1-23) التركيب العام لمعقدات Ruthenium

وإجراء دراسة نظرية من خلال استخدام سلسلة برامج GAUSSIAN 03 وبطريقة DFT على هذه المعقدات وقد وضحت النتائج قوة التآصر بين ليكنات N-heterocyclic carbene (NHC) الى مركز الفلز وكذلك اقترح الباحث تمدد قليل للأوربيتالات الجزيئية الملائمة لنقطة تداخل  $\sigma$  NHC-Ru تذهب باتجاه استقرارية اكبر لتآصر NHC-Ru في هذه المعقدات.

قام الباحث Singh, R. وجماعته [64][2011] بدراسة نظرية مستندة على DFT لدراسة التفاعل بين هاليدات Halides العناصر الانتقالية و Thioamides والتي تمتلك التركيب في الشكل (1-24)

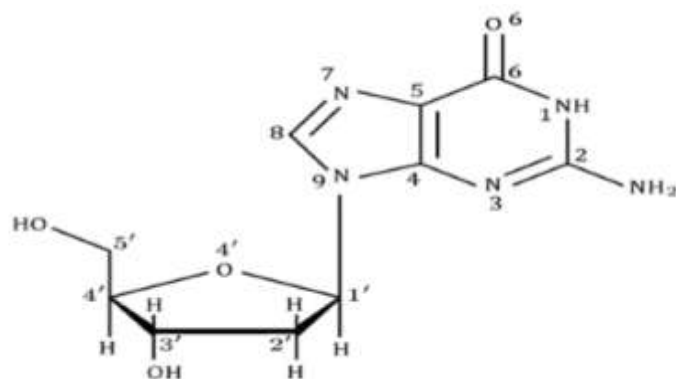


الشكل (1-24) التركيب العام ل-Thioamides

إذ إن طاقات مستويات HOMO, LUMO بينت Thiazolidinethione يمتلك أعلى قابلية للوهب من بين Thioamides وكذلك إن الحديد هو أقوى مستقبل من بين العناصر الانتقالية المذكورة.

قام الباحث Ahmadi, M. وجماعته [65][2011] بدراسة نظرية لمعرفة مدى تأثير التآصر بين أيونات الفلزات  $Mg^{2+}$ ,  $Ca^{2+}$ ,  $Zn^{2+}$ ,  $Cu^{+}$  وجزيئة السكر بالإضافة الى تقدير قوة أصرة N-glycosidic والشكل (1-25) يبين التركيب الكيميائي ل-2'-deoxyguanosine





الشكل (1-25) التركيب الكيميائي لـ 2'-deoxyguanosine

إذ إن الحسابات النظرية أجريت باستخدام:-

DFT/6-311++G(d,p) لتحديد طبيعة التفاعلات الحاصلة.

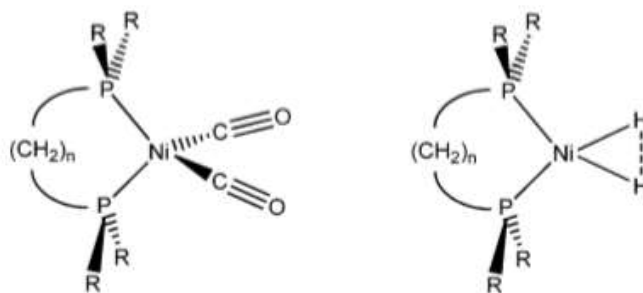
قام الباحث Charity, F. وجماعته [66][2012] بدراسة نظرية بطريقة DFT لمعرفة الخصائص الهندسية وكذلك التأصر بين الفلز والليكند في معقدات النيكل المحتوية على phosphines ثنائية السن



إذ إن:-

X = H, CO, n = 1-3, and R = H, Me, CF<sub>3</sub>, Et, i-Pr, t-Bu, Ph, OMe, F

والشكل (1-26) يبين التركيب الكيميائي للمعقد



الشكل (1-26) التركيب الكيميائي لمعقد النيكل

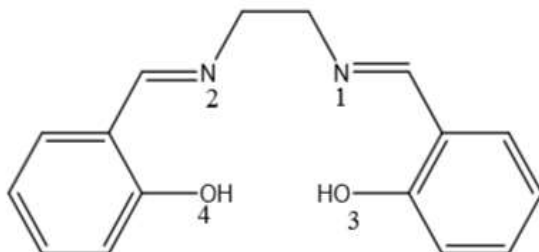
إذ إن: n = 1-3, R = H, Me, CF<sub>3</sub>, Et, i-Pr, t-Bu, Ph, OMe, F

إذ أظهرت النتائج إن شدة ترددات الكربونيل لمعقد Ni(CO)<sub>2</sub>(R<sub>2</sub>P(CH<sub>2</sub>)<sub>n</sub>PR<sub>2</sub>) تعتمد على المجاميع المعوضة (R) على phosphorus وهذه المجاميع هي :-

R = H, Me, CF<sub>3</sub>, Et, i-Pr, t-Bu, Ph, OMe, F

إذ إن phosphines ثنائي السن تعتبر مجموعة واهبة قوية.

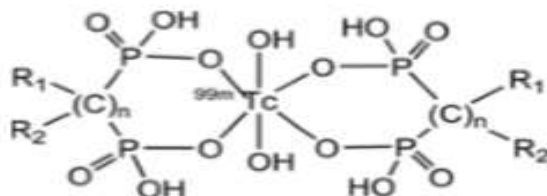
قام الباحث Mahdeyeh, S. وجماعته [67][2012] بتطبيق الحسابات النظرية باستخدام برنامج Gaussian 03 لدراسة الخصائص الهندسية لمعقدات الفلز لأيونات Zn (II), Cd (II), Hg (II) مع قاعدة Salen Schiff وأدناه الشكل (1-27)



الشكل (1-27) التركيب الكيميائي لقاعدة Salen Schiff

ومن نتائج الحسابات النظرية المتعلقة بالخصائص الجزيئية والالكترونية تبين انه من الممكن استخدام قاعدة Salen Schiff كليكند مناسب للتفاعل مع هذه الايونات.

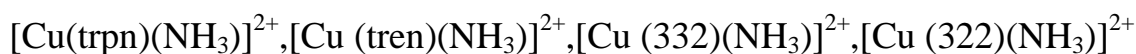
قام الباحث Ling, Q. وجماعته [68][2012] بدراسة نظرية باستخدام نظرية DFT مع قاعدة D95V لدراسة تأثير المجاميع المعوضة على التراكيب الالكترونية والهندسية لمعقدات Technetium-99m-labeled diphosphonate الشكل (1-28)

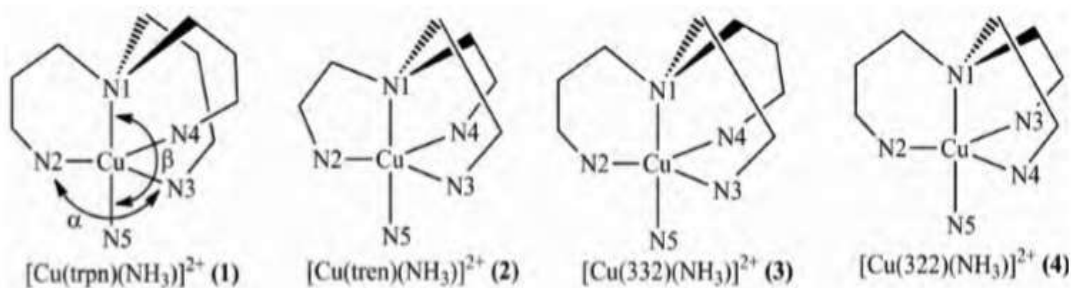


الشكل (1-28) التركيب الكيميائي لـ Technetium-99m-labeled diphosphonate

إذ بينت النتائج نقصان طاقة الفجوة FMO(frontier molecular orbitals) وهي تمثل الفرق بين طاقة مستويات HOMO و LUMO، الحجم الجزيئي والمساحة السطحية للمعقد.

قام الباحث Duran, K. وجماعته [69][2013] بإجراء دراسة نظرية باستخدام طريقة DFT, TD-DFT/6-31G(d,p) على معقدات Copper(II) المحتوية على ليكندات ( tripod al tetramin) في الشكل (1-29) وهي:



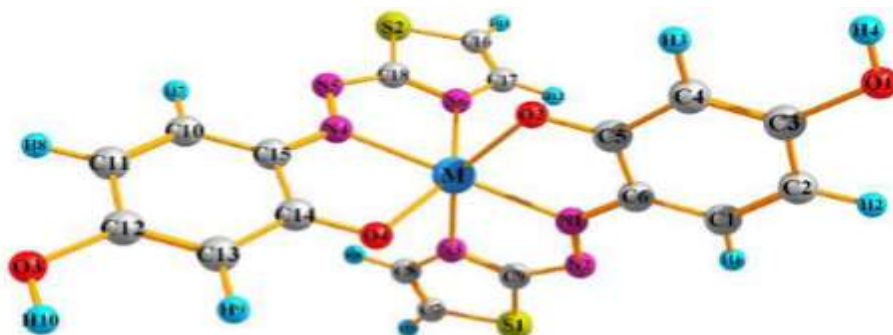


الشكل (1-29) التركيب الكيميائي لمعقدات Copper(II)

طاقات الإثارة الإلكترونية تم حسابها نظريا إذ وجد الباحث من خلال بحثه إن معظم شدة الحزم في الأطياف الإلكترونية للمعقدات تنتج عن الانتقالات التالية:

$$d_{xz}, d_{yz} \rightarrow d_z^2, d_{xz}, d_{yz} \rightarrow d_{x^2-y^2}, d_{xy} \rightarrow d_z^2$$

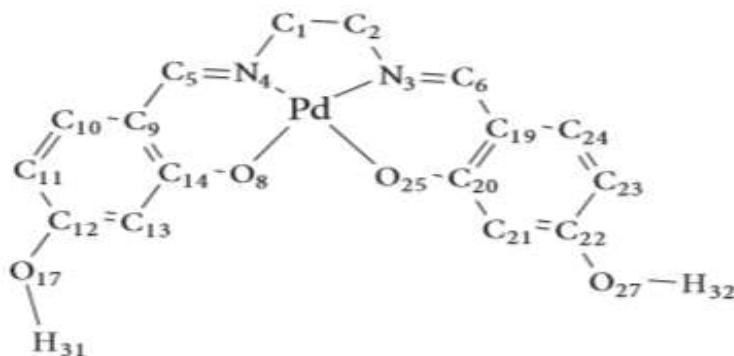
قام الباحث Beyramabadi, S. A. [2013][70] بدراسة خصائص هذه المعقدات نظريا باستخدام DFT /6-31+G(d,p) والمعقدات هي Fe(II), Cu(II), Zn(II) مع ليكند (4-(2-thiazolylazo) resorcinol (TAR)) في الشكل (1-30)



الشكل (1-30) الشكل ثلاثي الأبعاد لمعقدات Fe(II), Cu(II), Zn(II)

إذ أظهرت النتائج التي تم الحصول عليها إن معقد Cu(II) يظهر تأثير Jahn-Teller.

قام الباحث Alireza, A. [2013][71] وجماعته بتحضير معقد Schiff base Pd(II) والشكل (1-31) ودراسة خواصه.

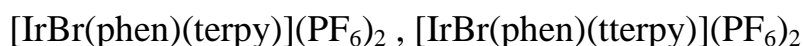


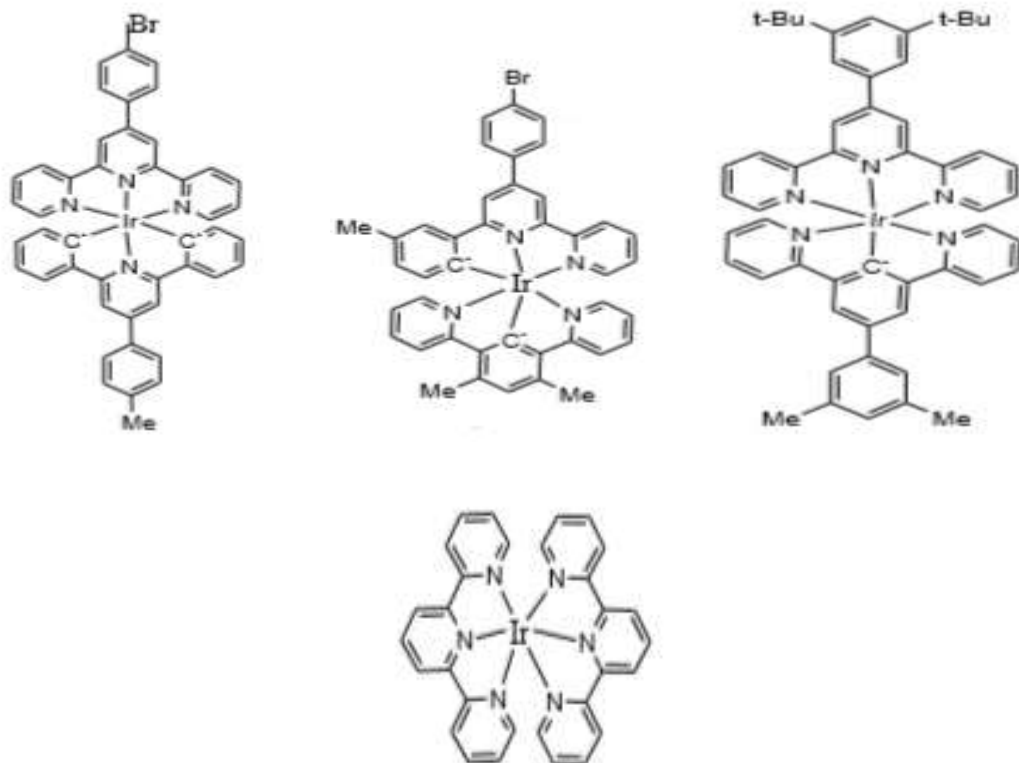
الشكل (1-31) التركيب الكيميائي لمعقد Schiff base Pd(II)

باستخدام نظرية DFT (PW91) إذ تم دراسة العديد من الخصائص الهندسية والطيفية من خلال الحسابات النظرية وموازنة النتائج النظرية مع النتائج العملية للمعقد المدروس.

قام الباحث Rodrigo C. وجماعته [72][2013] بدراسة نظرية من خلال DFT/6-311++G(d,p) إذ تم في هذا البحث عرض المنهجيات المستخدمة للتنبؤ الكمي لثوابت الاستقرار و pH لمعقدات العناصر في المحلول وبالنسبة لمعقدات  $PM-Cu^{2+}$  إذ إن (PM يعني الليكند pyridoxamine) فان النتائج التي تم الحصول عليها تبين إن PM هو عامل كيلي تي كفوء لـ  $Cu^{2+}$ .

قام الباحث Naokazu Y. وجماعته [73][2014] بدراسة نظرية باستخدام LANL2DZ مع Iridium(III) لدراسة الحالات المثارة الثلاثية لمعقدات Terpyridine وكذلك العلاقة بين هذه الحالات وأطياف الانبعاث للمعقدات، والمعقدات التي تم تحضيرها مبينة في الشكل (1-32) وهي





الشكل (1-32) التركيب الكيميائي لمعقدات Iridium(III)

إذ وجدت هذه المعقدات تمتلك اثنين من الحالات المثارة وان طاقة الفجوات بين الحالات المثارة والحالات المستقرة تم موازنتها مع مايقابلها من القمم في طيف الإشعاع للمعقدات فتم الحصول على درجة عالية من الترابط بين الطاقات المحسوبة والملاحظة وبذلك فإن الحالة المثارة هي مصدر الإشعاع المتفسر لهذه المعقدات.

**1-8 الهدف من البحث The Aim Of The Work**

الهدف من هذه الدراسة هو إجراء دراسة نظرية لـ 25 صبغة طبيعية وذلك باستخدام برنامج Chembio3Dultra 14 وبالطرق الآتية:

HF/ B3LYB 3-21G

DFT/ B3LYB 3-21G

DFT/ B3LYB 6-31G

DFT/ B3LYB 6-311G

وتحديد أي من هذه الصبغات تمتلك كفاءة أكثر من حيث صفة تحسسها لضوء الشمس لأغراض استخدامات الطاقة الشمسية بغية الاستفادة من النباتات الطبيعية المتوفرة في العراق في تصميم الخلايا الشمسية وتصنيعها وتوافر الطاقة الكهربائية وتجنب استخدام الصبغات الصناعية المكلفة.

# الفصل الثاني

## طرائق الحساب والعمل

## الفصل الثاني

### طرائق الحساب والعمل

#### 2-1 طرائق الحسابات Methods of Calculations

##### 2-1-1 برنامج 14 ChemBio3D ultra

تم استخدام هذا البرنامج لإجراء حسابات دوال الكثافة (DFT) Density functional theory وحسابات هارترى فوك (HF) Hartree fock لإيجاد الطاقات الكلية للجزيئات والذرات المختلفة وإيجاد الشكل الهندسي ومعرفة العديد من الصفات الفيزيائية المختلفة.

##### 2-1-2 نوع العمل

باستخدام برنامج حسابات ChemBio3D نستطيع حساب العديد من الصفات الكيميائية والفيزيائية للجزيئات بأسلوب DFT و HF ومن هذه الصفات التي تم حسابها في دراستنا:

- 1- حساب الشكل الهندسي للجزيئات عند مستوى الطاقة المنخفض لها.
- 2- حساب الطاقة الكلية وإيجاد القيم الطاقية لمستويات الـ HOMO و LUMO للصبغات.
- 3- حساب أطياف الامتصاص UV-Vis للجزيئات التي تمت دراستها

##### 2-1-3 أساليب الحساب

تم تطبيق أسلوب حسابات نظرية دالة الكثافة الوظيفية DFT وكذلك أسلوب هارترى فوك HF على 25 صبغة طبيعية.

##### 2-1-4 القواعد المستخدمة Basis sets

في حساباتنا قمنا باستخدام مجموعة من القواعد وهي: 3-21G, 6-31G, 6-311G.

##### 2-1-5 معاملات التقريب للطاقة التبادلية والترابطية

تم استخدام نوع واحد شائع ومعتمد في غالبية الحسابات من هذا النوع B3LYP.



## 2-2 طرائق العمل Methods of work

## 2-2-1 المواد والأدوات المستخدمة Materials and tools

## جدول (2-1) الأجهزة المستخدمة

الأجهزة المستخدمة	تفاصيلها	مكان الجهاز
1- جهاز uv_vis	UV-Vis 160V	كلية العلوم /جامعة ديالى
2-الفرن	فرن بتدرجات رقمية حرارية تصل الى 300 °C	كلية العلوم /جامعة ديالى

## جدول (2-2) المواد المستخدمة

المواد المستخدمة	تفاصيلها	الوظيفة
1-مسحوق ثنائي اوكسيد التيتانيوم النانوي	TiO <sub>2</sub> assay;99%	تحضير DSSC
2-زجاج ITO	لها مقاومة تساوي 30 اوم/ملم <sup>2</sup>	تحضير DSSC
3-حامض النتريك المخفف	HNO <sub>3</sub> الوزن الجزيئي 63g/mol	لعمل عجينة TiO <sub>2</sub>
4-يوريد البوتاسيوم	الوزن الجزيئي KI 166.00 g/mol	لتحضير المحلول الألكتروليتي
5-اليود	الوزن الجزيئي I <sub>2</sub> 126.9 g/mol	لتحضير المحلول الألكتروليتي
6-أسيتون	الوزن الجزيئي CH <sub>3</sub> COCH <sub>3</sub> 58.07gm/mol	لاستخلاص صبغة الكلوروفيل
7-إيثانول	الوزن الجزيئي CH <sub>3</sub> CH <sub>2</sub> OH 46.06gm/mol	لتنظيف المواد
8-إيثيلين كلايكول	CH <sub>2</sub> OHCH <sub>2</sub> OH الوزن الجزيئي 62.07 gm/mol	لتحضير المحلول الألكتروليتي للـDSSC

## 2-2-2 العمل

## 1-تنظيف ITO

تم تنظيف زجاجيات الـITO ذات الأبعاد  $3 \times 3 \text{ cm}^2$  وفق الخطوات الآتية:

1-تغسل جيدا بالماء المقطر

2-تغسل جيدا بالإيثانول

3-تجفف باستخدام هواء حار

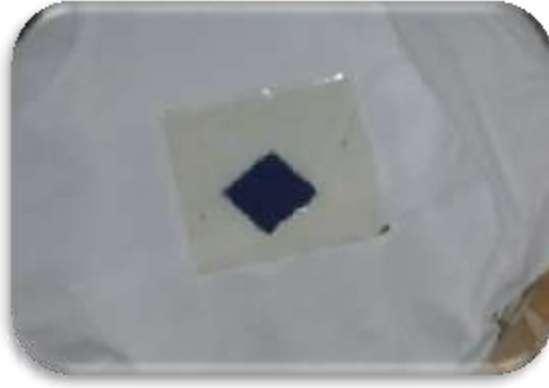
2-تحضير طبقة الانود

تم وزن 0.5gm من مسحوق ثنائي اوكسيد التيتانيوم النانوي ويتم وضع قطرات قليلة من حامض النترريك المخفف 0.1 مولاري للحصول على عجينة هذه العجينة تطلّى على الجانب الموصل من زجاجة ITO إذ يتم قياس الجهة الموصلة للزجاجة باستخدام جهاز الاوفوميتر كما في الشكل (2-1).

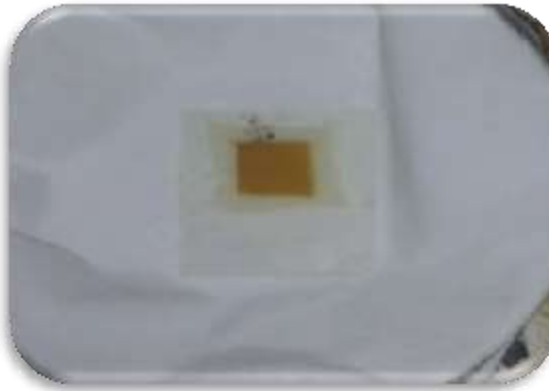


الشكل (2-1) تحضير طبقة الانود

قبل وضع العجينة نقوم بتثبيت الأبعاد على الزجاجة باستخدام شريط لاصق شفاف بحيث تكون مساحة العمل المخصصة للطلاء  $1 \times 1 \text{ cm}^2$  تترك طبقة العجينة دقائق قليلة تجف ثم تزال الأشرطة اللاصقة وتوضع داخل الفرن على حرارة  $400-500 \text{ C}^\circ$  لمدة ساعتين [74]. ثم تترك تبرد جيدا ثم تغطس في محلول الصبغة المحضرة الى أن تتلون طبقة الانود بلون الصبغة ثم ترفع من المحلول وتترك تجف جيدا في مكان معتم بعيد عن الضوء وتحفظ في أقراص بلاستيكية مع تجنب تعريضها للضوء كما في الأشكال (2-2) و (2-3) الآتية:



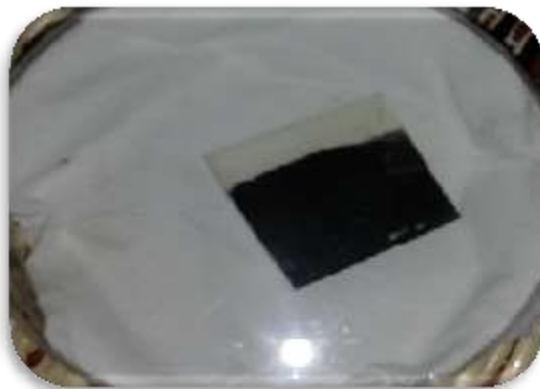
الشكل (2-2) طبقة الانود بعد نقعها بمحلول صبغة الانثوسيانين



الشكل (2-3) طبقة الانود بعد نقعها بمحلول صبغة الكلوروفيل

### 3-تحضير طبقة الكاثود

مررت زجاجة ITO وعلى جانبها الموصل على لهب شمعة لعدة دقائق الى أن تكتسي باللون الأسود للكربون ثم توضع في أقراص بلاستيكية كما في الشكل(2-4):



الشكل (2-4) طبقة الكاثود

### 4- تحضير المحلول الألكتروليتي

يحضر المحلول الألكتروليتي بإذابة 0.1 M من KI و 0.05 M من  $I_2$  في 25 ml من أثيلين الكلايكول للحصول على أيونات  $(I/I_3^-)$ .

## 5- تحضير الصبغات

## 1-استخلاص الصبغة من أوراق الملفوف الأحمر الطازج

نسخن 100 مل من الماء المقطر ونتركه يغلي دقيقتين ثم نأخذ 64 غرام من ورق الملفوف الأحمر ونقطعه الى قطع صغيرة جدا ونضعها في الماء المقطر يغطى ويرفع من النار ونتركه يبرد كما في الشكل (5-2) [75].



الشكل(5-2) محلول صبغة الانثوسيانين المستخلصة

## 2-استخلاص الصبغة من سعف النخيل

نأخذ 15 غرام من سعف النخيل الأخضر ونقطعه قطع صغيرة جدا ثم نضيف له 20 مل من الأسيتون ويترك لمدة خمس دقائق بعدها نقوم بالضغط على المزيج باستخدام مدقة لمدة 15 دقيقة للحصول على المحلول المستخلص كما في الشكل(6-2) [76] وبما أن النخيل يوجد بأنواع عديدة فتم إجراء عملية الاستخلاص الموضحة على ثلاثة أنواع من النخيل هي التبرزل, الخستوي والدكل ووجد انه يمتلك الطول الموجي نفسه بعد إجراء قياس Uv-vis له وتساوي 664nm.



الشكل(6-2) محلول صبغة الكلوروفيل المستخلصة

## 6-تجميع الخلايا الشمسية المتحسسة للأصباغ

تجميع الخلايا الشمسية يتمثل بإضافة قطرات قليلة جدا من المحلول الألكتروليتي على طبقة الانود ويثبت كلا القطبين الانود والكاثود بحيث يكونان مواجهين لبعضهما باستعمال حلقات ماسكة.

## 7-تقييم الخلايا الشمسية Evaluation Of The Fabricated DSSCs

يتم ذلك من خلال نظام تقدير الخلايا الشمسية المتحسسة للأصباغ التي تم تصنيعها والموضحة في الشكل(7-2) إذ يتم تسليط ضوء على الخلية الشمسية ويتم حساب قيم التيار والفولتية بتغيير قيم المقاومة المتغيرة والتي تعطي جدول ومخطط لقيم الفولتية والتيار.



شكل (7-2) تقييم نظام الخلية الشمسية المحفزة بالصبغة

الفصل الثالث

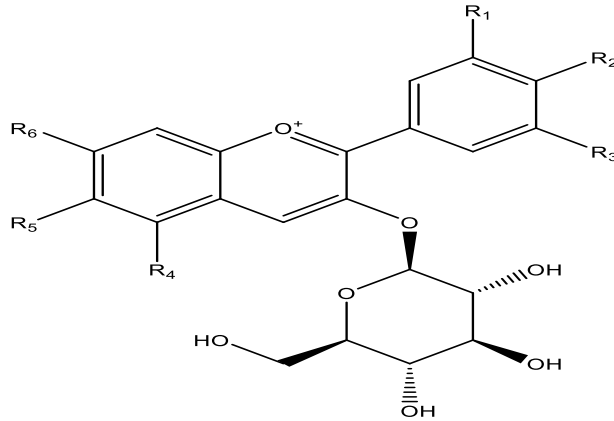
النتائج والمناقشة

الفصل الثالث

Results and Discussion **النتائج والمناقشة**

**3-1 نتائج الحسابات النظرية ومناقشتها**

تمت دراسة 25 صبغة طبيعية لمعرفة كفاءتها في استخدام الخلايا الشمسية المتحسسة للأصباغ حيث تم تقسيمها الى مجموعتين من الأصباغ الطبيعية إذ إن المجموعة الأولى تحتوي على جزيئة كلوكوز وتمتلك التركيب العام والمبين من خلال الشكل (3-1) والجدول (3-1):



الشكل (3-1) التركيب العام لمجموعة الانثوسيانينات والمجاميع المرتبطة بها

الجدول (3-1) مجموعة الأصباغ الطبيعية المحتوية على جزيئة كلوكوز

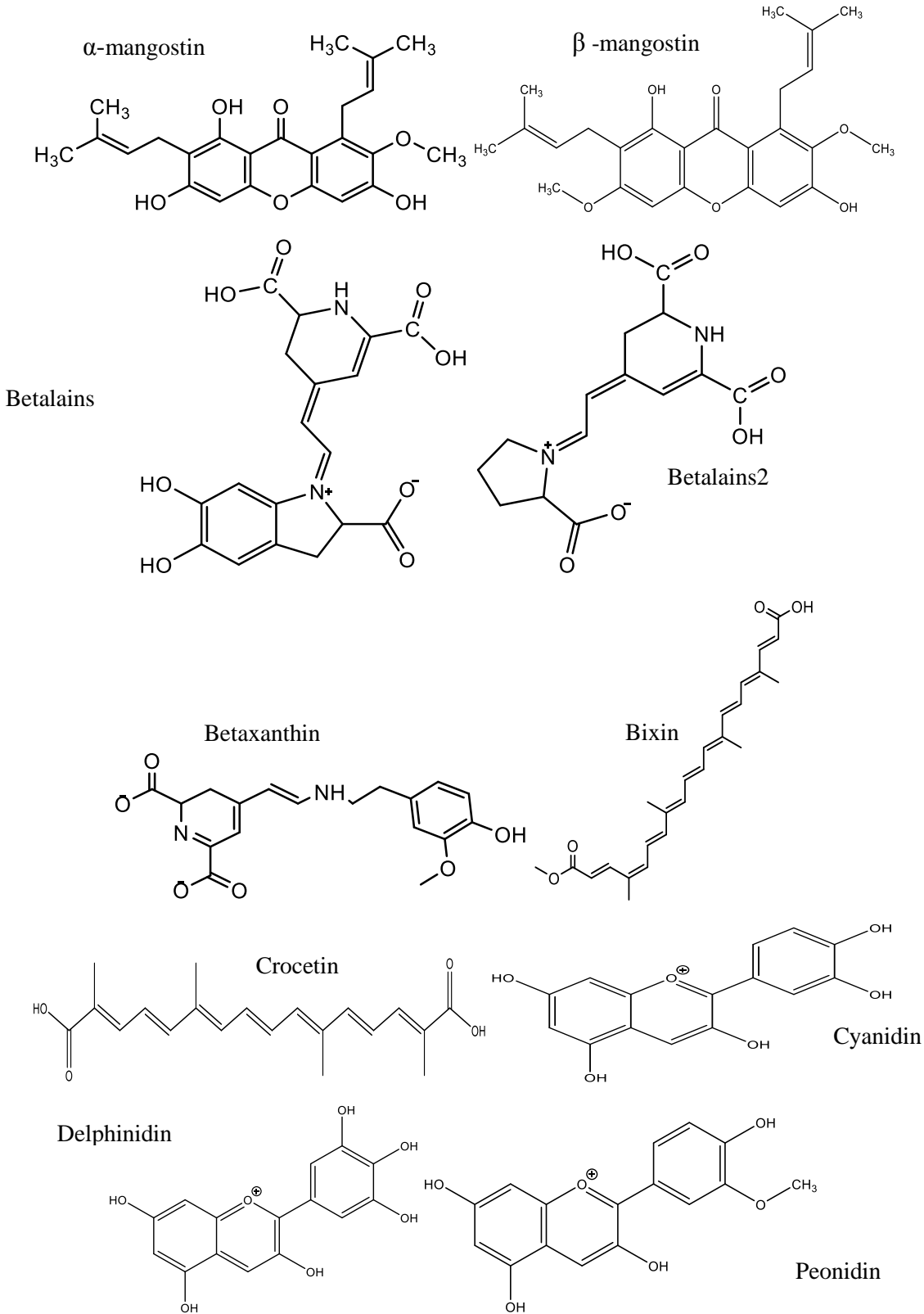
Dyes	R1	R2	R3	R4	R5	R6
1 Delphinidin+glucose	OH	OH	OH	OH	H	OH
2 Aurantinidin+glucose	H	OH	H	OH	OH	OH
3 Hirsutidin+glucose	OCH3	OH	OCH3	OH	H	OCH3
4 Europinidin+glucose	OCH3	OH	OH	OCH3	H	OH
5 Peonidin+glucose	OCH3	OH	H	OH	H	OH
6 Pelargonidin+glucose	H	OH	H	OH	H	OH
7 Malvidin+glucose	OCH3	OH	OCH3	OH	H	OH
8 Triacetidin+glucose	OH	OH	OH	OH	H	OH
9 Petunidin+glucose	OH	OH	OCH3	OH	H	OH

10	<b>Pulchellidin+glucose</b>	OH	OH	OH	OCH3	H	OH
11	<b>Apigeninidin+glucose</b>	H	OH	H	OH	H	OH
12	<b>Capensinidin+glucose</b>	OCH3	OH	OCH3	OCH3	H	OH
13	<b>Rosinidin+glucose</b>	OCH3	OH	H	OH	H	OCH3
14	<b>Cyanidin+glucose</b>	OH	OH	H	OH	H	OH
15	<b>Luteolinidin+glucose</b>	OH	OH	H	OH	H	OH



أما المجموعة الثانية من الأصباغ المدروسة لاحتوي جزيئة كلوكوز وتمتلك التركيب الموضح في

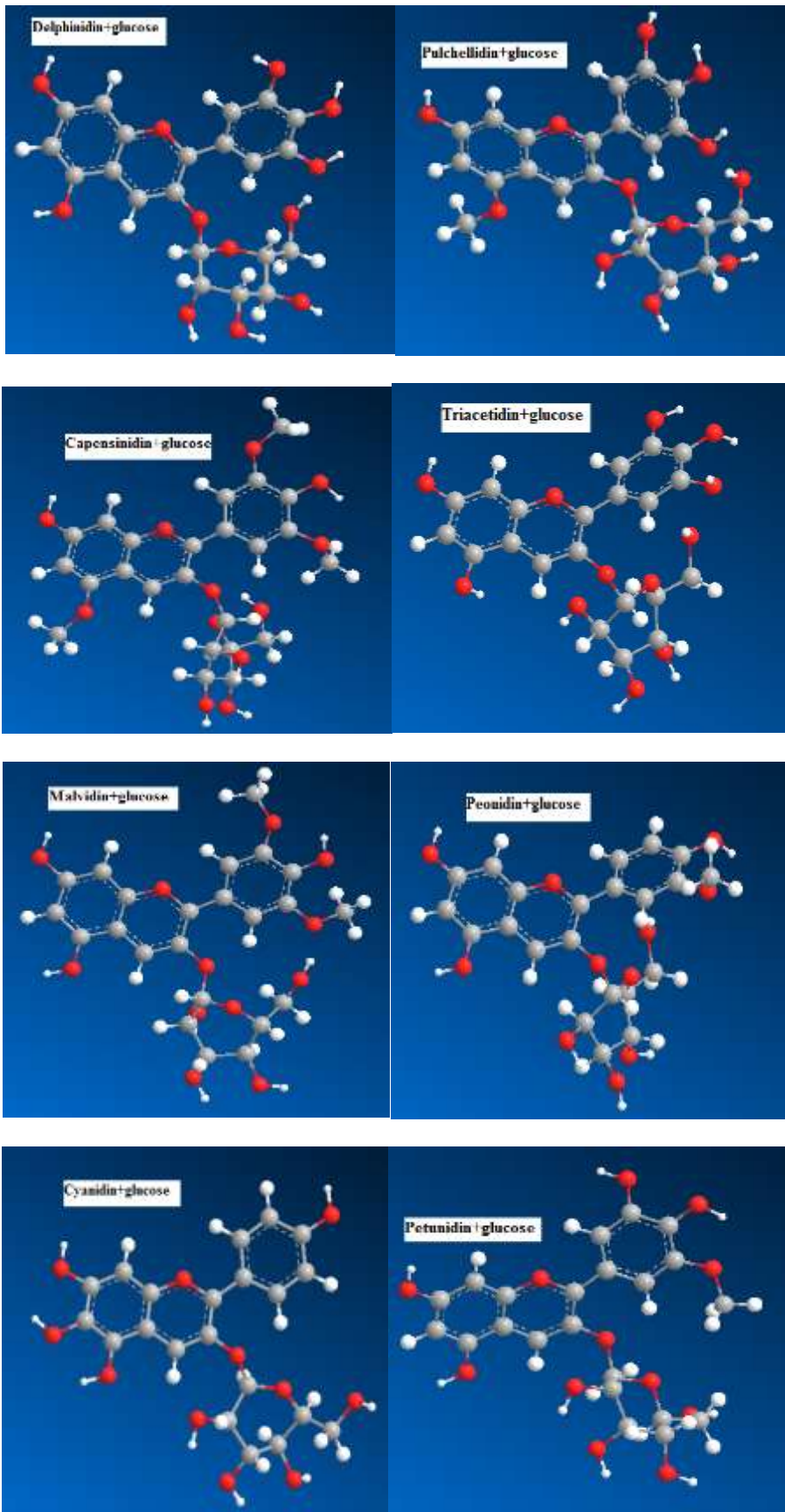
الشكل (3-2)

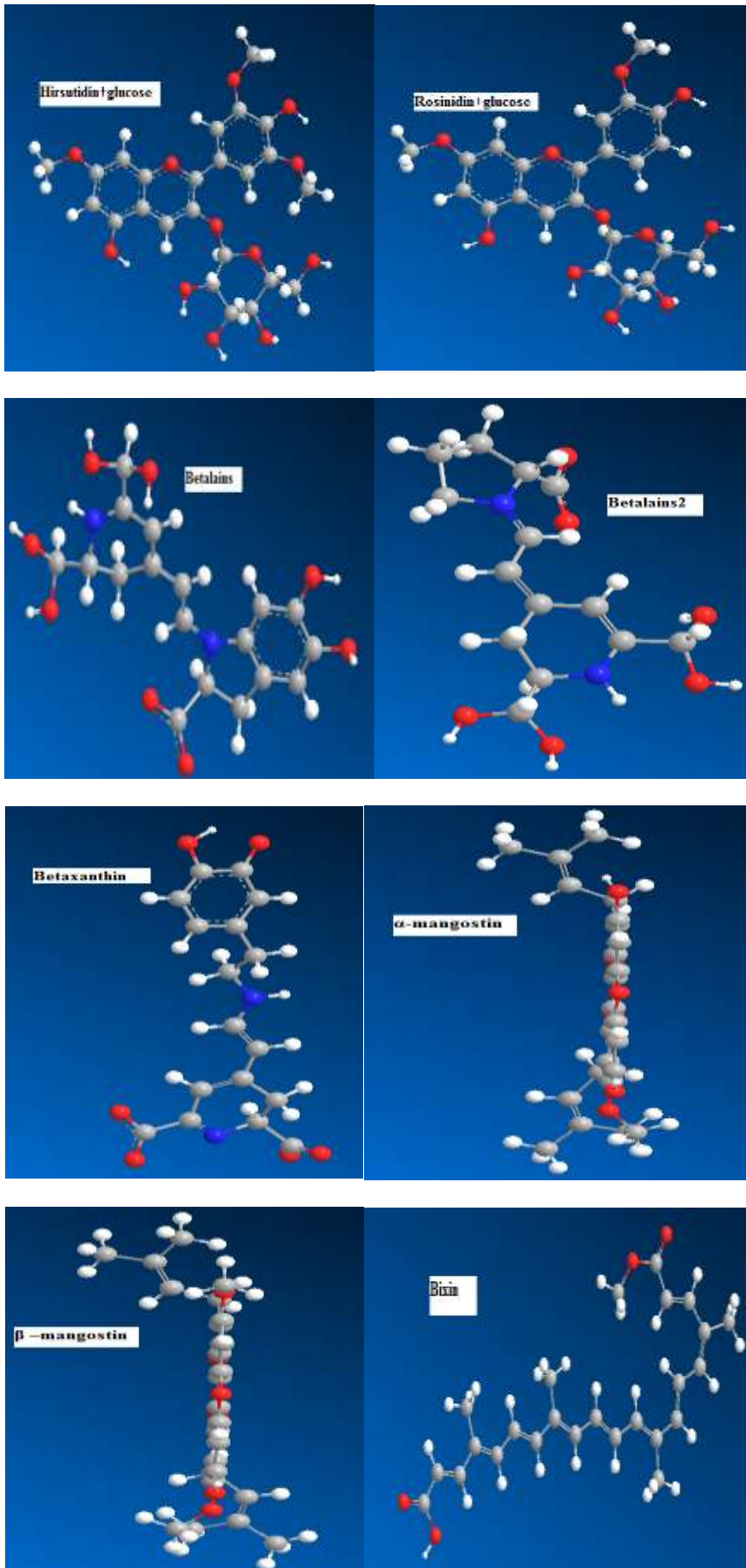


الشكل (3-2) مجموعة الأصباغ الطبيعية غير المحتوية على جزيئة كلوكوز

نتائج التراكيب المثلى الشكل (3-3) للمركبات قيد الدراسة والتي لها تركيب فراغي متشابه (توزيع فراغي مستوي)













الشكل (3-3) الأشكال الثلاثية الأبعاد للأصباغ الطبيعية المتحسسة من خلال برنامج الحسابات

بطريقة TD-DFT/B3LYP/6-31G

- ذرة الهيدروجين H 
- ذرة الكربون C 
- ذرة الاوكسجين O 
- ذرة النيتروجين N 

إن قيم HOMO و LUMO تم حسابها من خلال برنامج الحسابات

$$E_{gap} = LUMO - HOMO$$

أما قيمة Voc فحسبت وفق المعادلة التالية [51]:

$$Voc_{PCBM} = |E_{HOMO} (Donor)| - |E_{LUMO} (Acceptor)| - 0.3$$

إذ تم الحصول على نتائج الحسابات التي أجريت على الأصباغ الموضحة أعلاه والجدول أدناه تبين هذه النتائج:

الجدول (3-2) قيم الطاقات الالكترونية لجميع الاصباغ المحسوبة بطريقة DFT/B3LYP/3-21G

	Type of Dyes	DFT/B3LYP/3-21G			
		$E_{HOMO}$ (eV)	$E_{LUMO}$ (eV)	$E_{gap}$ (eV)	Voc/ PCBM
1	Delphinidin+glucose	-5.992	-1.043	4.949	1.992
2	Aurantininidin+glucose	-5.738	-0.901	4.837	1.738
3	Hirsutidin+glucose	-5.948	-0.965	4.983	1.948
4	Europeninidin+glucose	-5.898	-0.891	5.007	1.898
5	Peonidin+glucose	-5.955	-1.019	4.936	1.955
6	Pelargonidin+glucose	-5.575	-0.894	4.681	1.575
7	Malvidin+glucose	-5.912	-0.979	4.933	1.912
8	Triacetidin+glucose	-5.272	-0.883	4.889	1.772
9	Petunidin+glucose	-5.125	-1.897	3.228	1.125
10	Pulchellidin+glucose	-5.826	-0.904	4.922	1.826
11	Apigenininidin+glucose	-5.695	-0.916	4.779	1.695
12	Capensininidin+glucose	-5.807	-0.821	4.986	1.807
13	Rosininidin+glucose	-5.76	-0.859	4.901	1.76
14	Cyanidin+glucose	-5.785	-0.933	4.852	1.785



15	Luteolinidin+glucose	-5.269	-0.379	4.89	1.269
16	Cyanidin	-5.789	-0.846	4.943	1.789
17	Peonidin	-5.755	-0.808	4.947	1.755
18	Delphinidin	-5.76	-0.777	4.983	1.76
19	Betalains	-9.27	-3.46	5.81	5.27
20	Betalains2	-9.377	-2.453	6.924	5.377
21	Crocetin	-11.34	-7.519	3.822	7.341
22	Bixin	-11.05	-7.833	3.218	7.051
23	$\alpha$ -mangostin	-10.86	-4.512	6.354	6.866
24	Betaxanthin	-10.08	-9.458	0.631	6.089
25	$\beta$ -mangostin	-10.77	-4.484	6.293	6.777
	PCBM	-6.100	-3.700		

الجدول (3-3) قيم الطاقات الالكترونية لجميع الاصباغ المحسوبة بطريقة HF/B3LYP/3-21G

	Type of Dyes	HF/B3LYP/3-21G			
		$E_{HOMO}$ (eV)	$E_{LUMO}$ (eV)	$E_{gap}$ (eV)	Voc/ PCBM
1	Delphinidin+glucose	-5.407	-0.318	5.089	1.407
2	Aurantidin+glucose	-5.475	-0.526	4.949	1.475
3	Hirsutidin+glucose	-5.465	-0.33	5.135	1.465
4	Euopenidin+glucose	-5.547	-0.48	5.067	1.547
5	Peonidin+glucose	-5.491	-0.512	4.979	1.491
6	Pelargonidin+glucose	-5.536	-0.569	4.967	1.536

7	<b>Malvidin+glucose</b>	-5.493	-0.307	5.186	1.493
8	<b>Triacetidin+glucose</b>	-5.317	-0.229	5.088	1.317
9	<b>Petunidin+glucose</b>	-4.556	-1.393	3.163	0.556
10	<b>Pulchellidin+glucose</b>	-5.446	-0.329	5.117	1.446
11	<b>Apigeninidin+glucose</b>	-5.351	-0.473	4.878	1.351
12	<b>Capensinidin+glucose</b>	-5.391	-0.271	5.12	1.391
13	<b>Rosinidin+glucose</b>	-5.51	-0.446	5.064	1.51
14	<b>Cyanidin+glucose</b>	-5.539	-0.535	5.004	1.539
15	<b>Luteolinidin+glucose</b>	-5.025	-0.03	4.995	1.025
16	<b>Cyanidin</b>	-5.453	-0.517	4.936	1.453
17	<b>Peonidin</b>	-5.423	-0.48	4.943	1.423
18	<b>Delphinidin</b>	-5.392	-0.394	4.998	1.392
19	<b>Betalains</b>	-9.215	-3.064	6.151	5.215
20	<b>Betalains2</b>	-9.651	-1.769	7.882	5.651
21	<b>Crocetin</b>	-11.71	-6.808	4.905	7.713
22	<b>Bixin</b>	-11.47	-6.905	4.57	7.475
23	<b><math>\alpha</math>-mangostin</b>	-10.68	-3.928	6.756	6.684
24	<b>Betaxanthin</b>	-9.92	-8.96	0.966	5.92
25	<b><math>\beta</math> -mangostin</b>	-10.67	-3.90	6.775	6.67
	<b>PCBM</b>	-6.100	-3.700	.....	.....



الجدول (3-4) قيم الطاقات الالكترونية لجميع الاصباغ المحسوبة بطريقة HF/B3LYP/3-21G

Type of Dyes		HF/B3LYP/3-21G		
		$E_{\text{HOMO}}$ (eV)	$E_{\text{LUMO}}$ (eV)	Voc/ TiO <sub>2</sub>
1	Delphinidin+glucose	-5.407	-0.318	3.682
2	Aurantininidin+glucose	-5.475	-0.526	3.474
3	Hirsutidin+glucose	-5.465	-0.33	3.67
4	Europenidin+glucose	-5.547	-0.48	3.52
5	Peonidin+glucose	-5.491	-0.512	3.488
6	Pelargonidin+glucose	-5.536	-0.569	3.431
7	Malvidin+glucose	-5.493	-0.307	3.693
8	Triacetidin+glucose	-5.317	-0.229	3.693
9	Petunidin+glucose	-4.556	-1.393	2.607
10	Pulchellidin+glucose	-5.446	-0.329	3.671
11	Apigenininidin+glucose	-5.351	-0.473	3.527
12	Capensininidin+glucose	-5.391	-0.271	3.729
13	Rosininidin+glucose	-5.51	-0.446	3.554
14	Cyanidin+glucose	-5.539	-0.535	3.465
15	Luteolinidin+glucose	-5.025	-0.03	3.97
16	Cyanidin	-5.453	-0.517	3.483
17	Peonidin	-5.423	-0.48	3.52
18	Delphinidin	-5.392	-0.394	3.606

19	Betalains	-9.215	-3.064	0.936
20	Betalains2	-9.651	-1.769	2.231
21	Croctin	-11.71	-6.808	-2.808
22	Bixin	-11.47	-6.905	-2.905
23	$\alpha$ -mangostin	-10.68	-3.928	0.072
24	Betaxanthin	-9.92	-8.96	-4.96
25	$\beta$ -mangostin	-10.67	-3.90	0.1

وان  $VocTiO_2$  تم حسابه وفق المعادلة التالية [77]:

$$VocTiO_2 = ELUMO (Donor) - 4.0$$

الجدول (3-5) قيم الطاقات الالكترونية لجميع الاصباغ المحسوبة بطريقة DFT/B3LYP/3-21G

Type of Dyes		DFT/B3LYP/3-21G		
		$E_{HOMO}$ (eV)	$E_{LUMO}$ (eV)	Voc/ $TiO_2$
1	Delphinidin+glucose	-5.992	-1.043	2.957
2	Aurantidin+glucose	-5.738	-0.901	3.099
3	Hirsutidin+glucose	-5.948	-0.965	3.035
4	Europenidin+glucose	-5.898	-0.891	3.109
5	Peonidin+glucose	-5.955	-1.019	2.981
6	Pelargonidin+glucose	-5.575	-0.894	3.106
7	Malvidin+glucose	-5.912	-0.979	3.021
8	Triacetidin+glucose	-5.272	-0.883	3.117
9	Petunidin+glucose	-5.125	-1.897	2.103
10	Pulchellidin+glucose	-5.826	-0.904	3.096

<b>11</b>	<b>Apigeninidin+gluco</b>	-5.695	-0.916	3.084
<b>12</b>	<b>Capensinidin+gluco</b>	-5.807	-0.821	3.179
<b>13</b>	<b>Rosinidin+glucose</b>	-5.76	-0.859	3.141
<b>14</b>	<b>Cyanidin+glucose</b>	-5.785	-0.933	3.067
<b>15</b>	<b>Luteolinidin+glucose</b>	-5.269	-0.379	3.621
<b>16</b>	<b>Cyanidin</b>	-5.789	-0.846	3.154
<b>17</b>	<b>Peonidin</b>	-5.755	-0.808	3.192
<b>18</b>	<b>Delphinidin</b>	-5.76	-0.777	3.223
<b>19</b>	<b>Betalains</b>	-9.27	-3.46	0.54
<b>20</b>	<b>Betalains2</b>	-9.377	-2.453	1.547
<b>21</b>	<b>Crocetin</b>	-11.34	-7.519	-3.519
<b>22</b>	<b>Bixin</b>	-11.05	-7.833	-3.833
<b>23</b>	<b><math>\alpha</math>-mangostin</b>	-10.86	-4.512	-0.512
<b>24</b>	<b>Betaxanthin</b>	-10.08	-9.458	-5.458
<b>25</b>	<b><math>\beta</math> –mangostin</b>	-10.77	-4.484	-0.484

الجدول (3-6) قيم Global electrophilicity المحسوبة بطريقة HF/B3LYP/3-21G

Type of Dyes		Global electrophilicity $\omega$
		HF/B3LYP/3-21G
1	Delphinidin+glucose	1.609
2	Aurantidin+glucose	1.818
3	Hirsutidin+glucose	1.634
4	Europinidin+glucose	1.791
5	Peonidin+glucose	1.807
6	Pelargonidin+glucose	1.875
7	Malvidin+glucose	1.621
8	Triacetidin+glucose	1.511
9	Petunidin+glucose	2.796
10	Pulchellidin+glucose	1.629
11	Apigeninidin+glucose	1.738
12	Capensinidin+glucose	1.565
13	Rosinidin+glucose	1.751
14	Cyanidin+glucose	1.843
15	Luteolinidin+glucose	1.278
16	Cyanidin	1.805
17	Peonidin	1.761

18	<b>Delphinidin</b>	1.674
19	<b>Betalains</b>	6.132
20	<b>Betalains2</b>	4.136
21	<b>Crocetin</b>	17.481
22	<b>Bixin</b>	18.48
23	<b><math>\alpha</math>-mangostin</b>	7.9
24	<b>Betaxanthin</b>	92.366
25	<b><math>\beta</math>-mangostin</b>	7.847

تم حساب قيم Global electrophilicity ( $\omega$ ) وفق المعادلات أدناه [78] :

**I (ionization pot.) = - HOMO**

**A (electron affinity) = - LUMO**

**X (electronegativity) = (I+A)/2**

**Global hardness  $\eta = (I-A)/2$**

**Global electrophilicity  $\omega = \mu^2/2\eta$**

**$\mu = -X$**

الجدول (3-7) قيم Global electrophilicity المحسوبة بطريقة DFT/B3LYP/3-21G

Type of Dyes		Global electrophilicity $\omega$
		DFT/B3LYP/3-21G
1	<b>Delphinidin+glucose</b>	2.499
2	<b>Aurantidin+glucose</b>	2.276
3	<b>Hirsutidin+glucose</b>	2.396

4	<b>Europinidin+glucose</b>	2.299
5	<b>Peonidin+glucose</b>	2.463
6	<b>Pelargonidin+glucose</b>	2.234
7	<b>Malvidin+glucose</b>	2.406
8	<b>Triacetidin+glucose</b>	2.157
9	<b>Petunidin+glucose</b>	3.818
10	<b>Pulchellidin+glucose</b>	2.300
11	<b>Apigeninidin+glucose</b>	2.286
12	<b>Capensinidin+glucose</b>	2.202
13	<b>Rosinidin+glucose</b>	2.234
14	<b>Cyanidin+glucose</b>	2.325
15	<b>Luteolinidin+glucose</b>	1.630
16	<b>Cyanidin</b>	2.225
17	<b>Peonidin</b>	2.176
18	<b>Delphinidin</b>	2.143
19	<b>Betalains</b>	6.972
20	<b>Betalains2</b>	5.053
21	<b>Crocetin</b>	23.266
22	<b>Bixin</b>	27.703
23	<b><math>\alpha</math>-mangostin</b>	9.304
24	<b>Betaxanthin</b>	151.365
25	<b><math>\beta</math>-mangostin</b>	9.252

الجدول (3-8) قيم الطاقات الالكترونية لجميع الاصباغ المحسوبة DFT/B3LYP/6-31G

	Type of Dyes	DFT/B3LYP/6-31G			
		$E_{HOMO}$ (eV)	$E_{LUMO}$ (eV)	Egap (eV)	Voc/ PCBM
1	Delphinidin+glucose	-5.852	-0.955	4.897	1.852
2	Aurantidin+glucose	-5.615	0.953	4.662	1.615
3	Hirsutidin+glucose	-6.053	-1.098	4.955	2.053
4	Europenidin+glucose	-5.778	-0.909	4.869	1.778
5	Peonidin+glucose	-5.936	-1.117	4.819	1.936
6	Pelargonidin+glucose	-5.831	-1.033	4.798	1.831
7	Malvidin+glucose	-5.922	-0.864	5.058	1.922
8	Triacetidin+glucose	-5.910	-1.039	4.871	1.91
9	Petunidin+glucose	-6.023	-0.992	5.031	2.023
10	Pulchellidin+glucose	-5.873	-0.982	4.891	1.873
11	Apigeninidin+glucose	5.696-	0.948-	4.748	1.696
12	Capensinidin+glucose	-5.910	-1.005	4.905	1.91
13	Rosinidin+glucose	-6.071	-1.111	4.96	2.071
14	Cyanidin+glucose	5.983-	1.078-	4.905	1.983
15	Luteolinidin+glucose	-5.081	-2.005	3.076	1.081
16	Cyanidin	-5.802	-0.87	4.932	1.802
17	Peonidin	-5.807	-0.874	4.933	1.807
18	Delphinidin	-5.8	-0.822	4.978	1.8
19	Betalains	-9.291	-3.558	5.733	5.291

20	<b>Betalains2</b>	-9.61	-2.421	7.189	5.61
21	<b>Croctin</b>	-11.333	-7.677	3.656	7.333
22	<b>Bixin</b>	-11.026	-7.949	3.077	7.026
23	<b><math>\alpha</math>-mangostin</b>	-10.782	-4.551	6.231	6.782
24	<b>Betaxanthin</b>	-10.027	-9.546	0.481	6.027
25	<b><math>\beta</math> -mangostin</b>	-10.909	-4.555	6.354	6.909
	<b>PCBM C60</b>	-6.100	-3.700		

الجدول أعلاه يتضمن قائمة حسابات أوربيبتالين هما (LUMO, HOMO) وطاقة الفجوة Egap بين الاوربيبتال الجزئي الاعلى انشغالا HOMO والاوربيبتال الجزئي الاقل انشغالا LUMO للصبغات التي تم دراستها وكذلك قيم Voc PCBM، مستويات طاقة HOMO و LUMO للمستقبل والواهب عوامل مهمة جدا لتقدير انتقال الشحنة الذي يحصل بين الواهب والمستقبل وكما مبين في الجدول (3-8) ونجد ان طاقات HOMO و LUMO للجزيئات مختلفة قليلا وهذا يشير الى ان التراكيب المختلفة لهذه الجزيئات تلعب دورا رئيسيا على الخصائص الالكترونية بالإضافة الى طاقة Egap للجزيئات تختلف بعض الشيء من 4.897 الى 6.354 بالاعتماد على التراكيب المختلفة، من جانب اخر ومن النتائج اعلاه نعلم ان مستويات LUMO للجزيئات قيد الدراسة يجب ان تكون اعلى من تلك العائدة الى حافة حزمة توصيل ITO (-4.7eV) لكي تكون هذه الجزيئات ذات قابلية قوية لحقن الالكترونات في اقطاب ال-ITO كذلك فإن زيادة مستويات HOMO يسبب تأثيرا سلبيا على اداء الخلية الشمسية العضوية ويعود ذلك الى سعة الفجوة بين مستوى HOMO للجزيئات العضوية ومستوى HOMO ل-PCBM، إن قيمة LUMO للواهب والذي يمثل الصبغات المدروسة يجب ان يكون اكبر من قيمة LUMO ل-PCBM وان هذه القوى الدافعة كبيرة بما فيه الكفاية لحقن الالكترونات الفعالة والتي تعرف في الخلايا الشمسية العضوية بفولتية الدائرة المفتوحة Voc [51].



الجدول (3-9) قيم الطاقات الالكترونية لجميع الاصباغ المحسوبة بطريقة DFT/B3LYP/6-31G

Type of Dyes		DFT/B3LYP/6-31G		
		$E_{HOMO}$ (eV)	$E_{LUMO}$ (eV)	Voc TiO <sub>2</sub>
1	Delphinidin+glucose	-5.852	-0.955	3.045
2	Aurantidin+glucose	-5.615	0.953	3.047
3	Hirsutidin+glucose	-6.053	-1.098	2.902
4	Europenidin+glucose	-5.778	-0.909	3.091
5	Peonidin+glucose	-5.936	-1.117	2.883
6	Pelargonidin+glucose	-5.831	-1.033	2.967
7	Malvidin+glucose	-5.922	-0.864	3.136
8	Triacetidin+glucose	-5.910	-1.039	2.961
9	Petunidin+glucose	-6.023	-0.992	3.008
10	Pulchellidin+glucose	-5.873	-0.982	3.018
11	Apigeninidin+glucose	5.696-	0.948-	3.052
12	Capensinidin+glucose	-5.910	-1.005	2.995
13	Rosinidin+glucose	-6.071	-1.111	2.889
14	Cyanidin+glucose	5.983-	1.078-	2.922
15	Luteolinidin+glucose	-5.081	-2.005	1.995
16	Cyanidin	-5.802	-0.87	3.13
17	Peonidin	-5.807	-0.874	-3.126
18	Delphinidin	-5.8	-0.822	3.178
19	Betalains	-9.291	-3.558	0.442

20	Betalains2	-9.61	-2.421	1.579
21	Crocetin	-11.333	-7.677	-3.677
22	Bixin	-11.026	-7.949	-3.949
23	$\alpha$ -mangostin	-10.782	-4.551	-0.551
24	Betaxanthin	-10.027	-9.546	-5.546
25	$\beta$ -mangostin	-10.909	-4.555	-0.555

جدول (3-10) قيم Global electrophilicity المحسوبة بطريقة DFT/B3LYP/6-31G

Type of Dyes		Global electrophilicity $\omega$
		DFT/B3LYP/6-31G
1	Delphinidin+glucose	2.364
2	Aurantidin+glucose	2.313
3	Hirsutidin+glucose	2.579
4	Europinidin+glucose	2.295
5	Peonidin+glucose	2.579
6	Pelargonidin+glucose	2.445
7	Malvidin+glucose	2.276
8	Triacetidin+glucose	2.477
9	Petunidin+glucose	2.444

10	Pulchellidin+glucose	2.401
11	Apigeninidin+glucose	2.324
12	Capensinidin+glucose	2.436
13	Rosinidin+glucose	2.599
14	Cyanidin+glucose	1.27
15	Luteolinidin+glucose	4.08
16	Cyanidin	2.256
17	Peonidin	1.130
18	Delphinidin	2.202
19	Betalains	7.199
20	Betalains2	5.033
21	Crocetin	24.711
22	Bixin	29.25
23	$\alpha$ -mangostin	9.432
24	Betaxanthin	199.09
25	$\beta$ -mangostin	9.408

الجدول (3-11) قيم الطاقات الالكترونية لجميع الاصباغ المحسوبة بطريقة DFT/B3LYP/6-311G

	Type of Dyes	DFT/B3LYP/6-311G			
		$E_{HOMO}$ (eV)	$E_{LUMO}$ (eV)	$E_{gap}$ (eV)	Voc/ PCBM
1	Delphinidin+glucose	-5.774	-0.875	4.899	1.774
2	Aurantininidin+glucose	-5.615	-0.953	4.662	1.615

3	Hirsutidin+glucose	.....	.....	.....	.....
4	Euopenidin+glucose	.....	.....	.....	.....
5	Peonidin+glucose	-5.847	-1.005	4.842	1.847
6	Pelargonidin+glucose	-5.640	-0.951	4.689	1.64
7	Malvidin+glucose	.....	.....	.....	.....
8	Triacetidin+glucose	-5.815	-0.935	4.88	1.815
9	Petunidin+glucose	-5.941	-0.997	4.944	1.941
10	Pulchellidin+glucose	-5.795	-0.905	4.89	1.795
11	Apigeninidin+glucose	-5.696	-0.948	4.748	1.696
12	Capensinidin+glucose	.....	.....	.....	.....
13	Rosinidin+glucose	-6.062	-1.093	4.969	2.062
14	Cyanidin+glucose	-5.759	-0.888	4.871	1.759
15	Luteolinidin+glucose	-5.069	-1.982	3.087	1.069
16	Cyanidin	-5.802	0.87	4.932	1.802
17	Peonidin	-5.807	-0.874	4.933	1.807
18	Delphinidin	-5.8	-0.822	4.978	1.8
19	Betalains	-9.291	-3.558	5.733	5.291
20	Betalains2	-9.61	-2.421	7.189	5.61
21	Crocetin	-11.333	-7.677	3.656	7.333
22	Bixin	-11.026	-7.949	3.077	7.026
23	$\alpha$ -mangostin	-10.782	-4.551	6.231	6.782
24	Betaxanthin	-10.027	-9.546	0.481	6.027

25	$\beta$ -mangostin	-10.909	-4.555	6.354	6.909
	PCBM	-6.100	-3.700	.....	.....

الجدول (3-12) قيم الطاقات الالكترونية لجميع الاصباغ المحسوبة بطريقة DFT/B3LYP/6-311G

	Type of Dyes	DFT/B3LYP/6-311G		
		$E_{HOMO}$ (eV)	$E_{LUMO}$ (eV)	Voc/ TiO <sub>2</sub>
1	Delphinidin+glucose	-5.774	-0.875	3.125
2	Aurantidin+glucose	-5.615	-0.953	3.047
3	Hirsutidin+glucose	.....	.....	.....
4	Europenidin+glucose	.....	.....	.....
5	Peonidin+glucose	-5.847	-1.005	2.995
6	Pelargonidin+glucose	-5.640	-0.951	3.049
7	Malvidin+glucose	.....	.....	.....
8	Triacetidin+glucose	-5.815	-0.935	3.065
9	Petunidin+glucose	-5.941	-0.997	3.003
10	Pulchellidin+glucose	-5.795	-0.905	3.095
11	Apigeninidin+glucose	-5.696	-0.948	3.052
12	Capensinidin+glucose	.....	.....	.....
13	Rosinidin+glucose	-6.062	-1.093	2.907
14	Cyanidin+glucose	-5.759	-0.888	3.112
15	Luteolinidin+glucose	-5.069	-1.982	2.018
16	Cyanidin	-5.802	0.87	3.13

17	Peonidin	-5.807	-0.874	3.126
18	Delphinidin	-5.8	-0.822	3.178
19	Betalains	-9.291	-3.558	0.442
20	Betalains2	-9.61	-2.421	1.579
21	Croctin	-11.333	-7.677	-3.677
22	Bixin	-11.026	-7.949	-3.949
23	$\alpha$ -mangostin	-10.782	-4.551	-0.551
24	Betaxanthin	-10.027	-9.546	-5.546
25	$\beta$ -mangostin	-10.909	-4.555	-0.555

جدول (3-13) قيم Global electrophilicity المحسوبة بطريقة DFT/B3LYP/6-311G

Type of Dyes		Global electrophilicity $\omega$
		DFT/B3LYP/6-311G
1	Delphinidin+glucose	2.255
2	Aurantidin+glucose	2.313
3	Hirsutidin+glucose	.....
4	Europinidin+glucose	.....
5	Peonidin+glucose	2.423
6	Pelargonidin+glucose	2.315

7	Malvidin+glucose	.....
8	Triacetidin+glucose	2.334
9	Petunidin+glucose	2.434
10	Pulchellidin+glucose	2.294
11	Apigeninidin+glucose	2.324
12	Capensinidin+glucose	.....
13	Rosinidin+glucose	2.575
14	Cyanidin+glucose	2.267
15	Luteolinidin+glucose	4.025
16	Cyanidin	2.256
17	Peonidin	2.261
18	Delphinidin	2.202
19	Betalains	7.198
20	Betalains2	5.032
21	Crocetin	24.711
22	Bixin	29.25
23	$\alpha$ -mangostin	9.432
24	Betaxanthin	199.097
25	$\beta$ -mangostin	9.408

## 3-1-1 الأطوال الموجية للصبغات

جدول (3-14) أطياف الامتصاص للصبغات الطبيعية التي تم الحصول عليها بطريقة

TD-DFT/B3LYP/3-21G

Type of Dyes		DFT/B3LYP/3-21G		
		الطول الموجي $\lambda$ (nm)	الامتصاصية A	عدد القيم
1	Delphinidin+glucose	480	1	1
2	Aurantidin+glucose	555 455 395	0.1 1 0.1	3
3	Hirsutidin+glucose	580 500	0.2 1	2
4	Europenidin+glucose	545 495 415	0.3 1 0.1	3
5	Peonidin+glucose	445 400	0.9 0.2	2
6	Pelargonidin+glucose	470	1	1
7	Malvidin+glucose	560 470 430	0.2 1 0.3	3
8	Triacetidin+glucose	605 495	0.1 1	2
9	Petunidin+glucose	585 465	0.3 1	2
10	Pulchellidin+glucose	495 455	1 0.4	2
11	Apigeninidin+glucose	485 405	1 0.5	2
12	Capensinidin+glucose	535 485 425	0.9 1 0.1	3
31	Rosinidin+glucose	540 440 420	0.5 1 0.4	3
14	Cyanidin+glucose	620 510 475	0.1 0.3 1	3
15	Luteolinidin+glucose	695 495	0.8 1	2
16	Cyanidin	530 460 400	0.6 0.3 1	3
17	Peonidin	585 465 400	0.4 0.5 1	3



18	Delphinidin	525 485 445	0.8 1 0.2	3
19	Betalains	630 570	0.3 1	2
20	Betalains2	610 500	0.2 0.9	2
21	Crocetin	471	1	1
22	Bixin	575 480 375	1 0.1 0.3	3
23	$\alpha$ -mangostin	360 300	0.9 0.3	2
24	Betaxanthin	545 465	0.20 0.9	2
25	$\beta$ -mangostin	375 325	1 0.8	2

جدول (3-15) أطياف الامتصاص للصبغات الطبيعية التي تم الحصول عليها بطريقة

TD-DFT/B3LYP/6-31G

Type of Dyes		DFT/B3LYP/6-31G		
		الطول الموجي $\lambda$ (nm)	الامتصاصية A	عدد القيم
1	Delphinidin+glucose	560 490	0.1 1	2
2	Aurantidin+glucose	470 410	1 0.2	2
3	Hirsutidin+glucose	560 500	0.2 1	2
4	Europenidin+glucose	590 455	0.3 1	2
5	Peonidin+glucose	470 430	1 0.2	2
6	Pelargonidin+glucose	455 395	0.9 0.4	2
7	Malvidin+glucose	555 495 475	0.1 0.9 1	3
8	Triacetidin+glucose	540 490 450	0.4 0.2 0.9	3
9	Petunidin+glucose	500 420	0.9 0.1	2
10	Pulchellidin+glucose	485 450	1 0.3	2

11	Apigeninidin+glucose	475	1	2
		415	0.4	
12	Capensinidin+glucose	570	0.3	3
		460	1	
		420	0.1	
13	Rosinidin+glucose	570	0.4	2
		445	1	
14	Cyanidin+glucose	430	0.9	1
15	Luteolinidin+glucose	510	0.7	3
		410	1	
		390	0.9	
16	Cyanidin	530	0.7	3
		470	0.3	
		410	0.9	
17	Peonidin	595	0.4	3
		475	0.6	
		415	1	
18	Delphinidin	535	0.6	3
		490	1	
		455	0.2	
19	Betalains	675	0.1	3
		615	0.3	
		555	1	
20	Betalains2	655	0.2	2
		520	1	
21	Crocetin	495	1	1
22	Bixin	600	1	3
		500	0.1	
		390	0.3	
23	$\alpha$ -mangostin	390	0.4	3
		370	1	
		320	0.1	
24	Betaxanthin	510	1	3
		475	0.8	
		455	0.7	
25	$\beta$ -mangostin	395	0.4	3
		375	1	
		340	0.7	

جدول (3-16) أطيف الامتصاص للصبغات الطبيعية التي تم الحصول عليها بطريقة

TD-DFT/B3LYP/6-311G

Type of Dyes		DFT/B3LYP/6-311G		
		الطول الموجي $\lambda$ (nm))	الامتصاصية A	عدد القمم
1	Delphinidin+glucose	495	1	3
		475	0.4	
		430	0.3	
2	Aurantininidin+glucose	460	1	1
3	Hirsutidin+glucose	.....	.....	.....
4	Europenidin+glucose	.....	.....	.....
5	Peonidin+glucose	465	1	2
		405	0.2	
6	Pelargonidin+glucose	520	0.2	2
		465	1	
7	Malvidin+glucose	.....	.....	.....
8	Triacetidin+glucose	600	0.1	2
		480	1	
9	Petunidin+glucose	500	1	2
		430	0.1	
10	Pulchellidin+glucose	520	0.7	3
		455	1	
		405	0.6	
11	Apigeninidin+glucose	475	1	2
		420	0.5	
12	Capensinidin+glucose	.....	.....	.....
31	Rosinidin+glucose	570	0.4	2
		450	1	
14	Cyanidin+glucose	460	1	1
15	Luteolinidin+glucose	500	0.6	3
		405	0.9	
		385	0.6	
16	Cyanidin	530	0.7	3
		470	0.3	
		410	0.9	
17	Peonidin	595	0.3	3
		475	0.6	
		415	1	
18	Delphinidin	535	0.6	3
		490	1	
		455	0.2	
19	Betalains	620	0.7	2
		560	1	
20	Betalains2	640	0.1	2
		520	0.9	
21	Crocetin	491	1	1

22	<b>Bixin</b>	600	1	3
		500	0.1	
		390	0.3	
23	<b><math>\alpha</math>-mangostin</b>	395	0.4	3
		365	1	
		315	0.1	
24	<b>Betaxanthin</b>	495	1	3
		465	0.9	
		445	0.5	
25	<b><math>\beta</math>-mangostin</b>	395	0.6	3
		375	1	
		335	0.6	

واستنادا الى النتائج التي تم الحصول عليها فبالإمكان مقارنة مخططات الأطوال الموجية للصبغات المختلفة إذ يمكن ملاحظة مايلي:

إن معظم الصبغات الخمسة التي تم تصنيفها في هذا البحث على انها ذات كفاءة قليلة عند استخدامها كمتحسسات وفي معظم الطرق الحسابية وهي Crocetin و  $\alpha$ -mangostin و Bixin و Betaxanthin بالإضافة الى صبغة  $\beta$ -mangostin إما انها تمتلك قمة واحدة مثل Crocetin أو انها تمتلك قمتي امتصاص ولكن أعلاها بحدود 370-380 nm مثل  $\alpha$ -mangostin و  $\beta$ -mangostin أو انها تمتلك قمة واضحة في منطقة visible وأخرى ضعيفة في منطقة UV مثل Bixin.

وللصبغات ذات الكفاءة العالية فبالإمكان مناقشة الصبغتين الأكفأ (وحسب ماتم تحديده إحصائيا) وهي كل من Delphinidin التي تمتلك قمتين في منطقة visible واقل امتصاصية لهاتين القمتين هي بحدود 0.5 وكذلك Peonidin والتي تختلف عن سابقتها بان طيفها يمتلك قمم أكثر.

### 2-1-3 المعالجات الإحصائية

#### Global electrophilicity 1-2-1-3

كما مبين في جداول الحسابات فان هناك فرق واضح في نتائج الطرق الحسابية المختلفة المستخدمة، ولتدارك هذه الحالة فلا بد من اللجوء الى المعالجات الاحصائية التي تعتمد على التكرارية في اختيار الاحتمالات الاعلى، إذ يبين الجدول (17-3) حسابات Global electrophilicity (والتي يمكن تعريفها على انها الفسحة التي ينتقل منها الإلكترون من المانح الى المستقبل donor to acceptor) وكلما حصل تخفيض فيها كلما أعطت نتائج وكفاءة أعلى للطرق الحسابية الأربعة التي تم استخدامها ويلاحظ في الشكل (4-3) إن أعلى تكرارية تتمثل في كل من Peonidin و Delphinidin للطرق المختلفة باستثناء طريقة HF/B3LYP/3-21G

والتي يمكن استبعادها من هذه الحسابات، وفي الحقيقة لا يمكن تحديد طريقة معينة لاختيارها كأفضل حالة وإنما استخدام التكرارية يمكن أن يكون الطريقة المفيدة في انتخاب الصبغات الأفضل وليس انتخاب الطريقة.

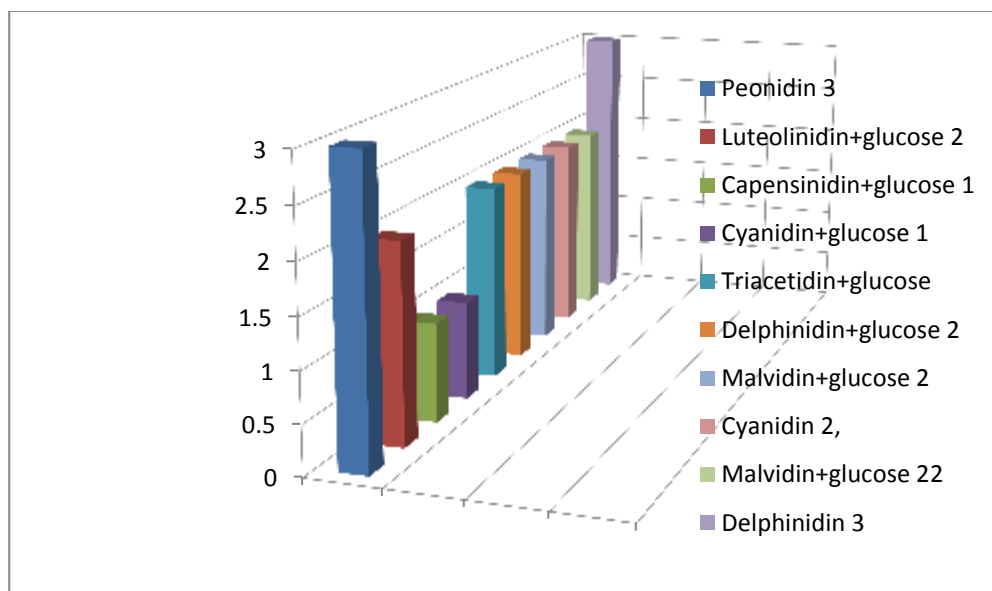
### الجدول (3-17) قيم Global electrophilicity للطرق الحسابية المختلفة

HF/B3LYP/ 3-21G		DFT/B3LYP/ 3-21G		DFT/B3LYP/ 6-31G		DFT/B3LYP/ 6-311G	
1	1.278	1	1.630	7	1.130	6	2.202
2	1.511	6	2.143	8	1.27	4	2.255
3	1.565	2	2.157	6	2.202	9	2.256
4	1.609	7	2.176	9	2.256	7	2.261
5	1.621	3	2.202	5	2.276	10	2.294

1-Luteolinidin+glucose, 2-Triacetidin+glucose, 3-Capensinidin+glucose,

4-Delphinidin+glucose, 5-Malvidin+glucose, 6-Delphinidin, 7-Peonidin,

8-Cyanidin+glucose, 9-Cyanidin, 10-Pulchellidin+glucose



الشكل (3-4) تكرارية قيم Global electrophilicity للطرق الحسابية المختلفة

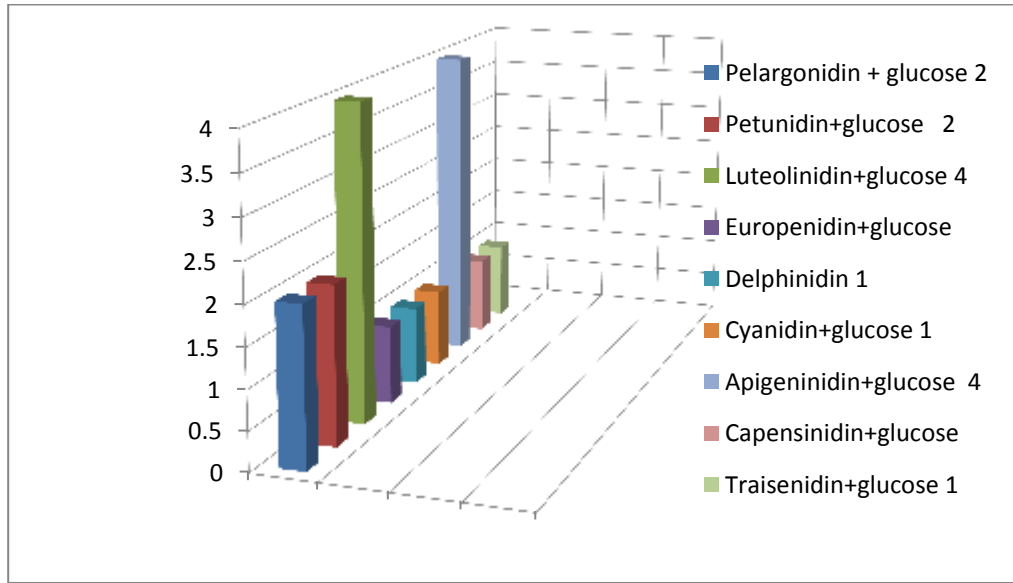
**Voc/ PCBM((6,6)phenyl-C61-butyric acid methyl ester) 2-2-1-3**

إن كفاءة الصبغة باستخدام PCBM((6,6)phenyl-C61-butyric acid methyl ester) في الخلية الشمسية تختلف عن تلك التي تستخدم  $TiO_2$  في تصميمها إذ إن PCBM يمثل طبقة الكاثود في الخلية الشمسية لذلك فإن عدم التطابق لايعني هناك خلل في الحسابات. إذ يبين الجدول (3-18) قيم Voc باستخدام PCBM لكل الطرق المستخدمة ويلاحظ في هذه الحالة إن صبغتي الـ Luteolinidin+glucose و Apigeninidin+glucose قد استحوذت على الطرق الأربع وكما موضحة في الشكل (3-5) وليس لثلاث كما في سابقاتها أي حتى على طريقة HF/B3LYP/3-21G مع الأخذ بنظر الاعتبار إن صبغة Luteolinidin+glucose لها الأولوية بسبب وجودها في مقدمة القيم مقارنة بالأخرى.

**الجدول (3-18) قيم Voc باستخدام PCBM للطرق الحسابية الأربع**

HF/B3LYP/ 3-21G		DFT/B3LYP/ 3-21G		DFT/B3LYP/ 6-31G		DFT/B3LYP/ 6-311G	
1	0.55	1	1.12	2	1.08	2	1.06
2	1.02	2	1.26	7	1.61	7	1.61
3	1.31	6	1.57	4	1.69	6	1.64
4	1.35	4	1.69	8	1.77	4	1.69
5	1.39	7	1.73	9	1.8	10	1.75

- 1- Petunidin+glucose, 2- Luteolinidin+glucose, 3- Triacetidin+glucose,  
 4- Apigeninidin+glucose, 5- Capensinidin+glucose, 6- Pelargonidin+glucose,  
 7- Aurantininidin+glucose, 8- Europenidin+glucose, 9- Delphinidin,  
 10- Cyanidin+glucose



الشكل (3-5) تكرارية Voc/ PCBM لطرق الحسابات المختلفة

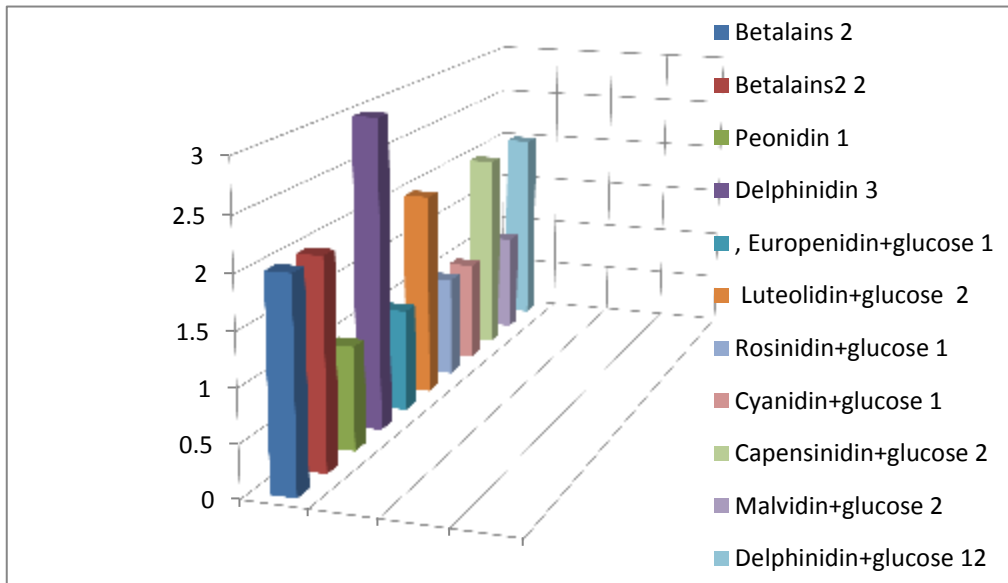
### Voc/TiO<sub>2</sub> 3-2-1-3

في الدراسة الإحصائية لحساب Voc لكفاءة الصبغات عند استخدام TiO<sub>2</sub> في الخلية الشمسية وهي تمثل طبقة الانود التي تعتبر مستقبلية للإلكترونات القادمة من الصبغة المتحسسة والمبينة في الجدول (3-19) إذ تم استنباط التكرارية وكما موضحة في الشكل (3-6) إذ يلاحظ تقدم صبغة Delphinidin على بقية الصبغات في التكرارية إذ يمكن اعتبارها الأعلى عند استخدام TiO<sub>2</sub> في الخلية الشمسية وهنا تتكرر صبغة Delphinidin كأفضل صبغة وفي نفس الوقت يمكن استبعاد طريقة HF/B3LYP/3-21G وذلك لعدم تطابقها مع الطرق الأخرى.

الجدول (3-19) قيم Voc للصبغات عند استخدام  $TiO_2$  في الخلية الشمسية للطرق الحسابية المختلفة

HF/B3LYP/ 3-21G		DFT/B3LYP/ 3-21G		DFT/B3LYP/ 6-31G		DFT/B3LYP/ 6-311G	
1	3.97	1	3.62	9	0.442	9	0.442
2	3.72	6	3.22	10	1.579	10	1.579
3	3.69	7	3.12	4	3.13	6	3.178
4	3.69	2	3.17	6	3.178	5	3.12
5	3.68	8	3.14	11	3.09	12	3.11

- 1- Luteolinidin+glucose, 2- Capensinidin+glucose, 3- Triacetidin+glucose,  
4-Malvidin+glucose, 5- Delphinidin+glucose, 6- Delphinidin,7- Peonidin  
8- Rosinidin+glucose, 9- Betalains, 10- Betalains2,11- Europenidin+glucose,  
12.Cyanidin+glucose



الشكل (3-6) تكرارية Voc / $TiO_2$  للطرق الحسابية المختلفة

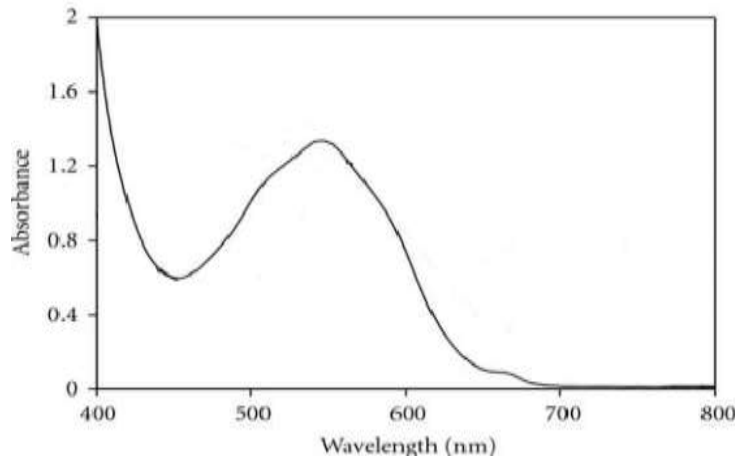


وبذلك فإن صبغة Delphinidin ووفقا لما تم الحصول عليه من نتائج هي الأعلى كفاءة وهي تعتبر إحدى الصبغات الطبيعية التي تعود لمجموعة الانثوسيانين الموجودة في الطبيعة وتعتبر مسؤولة عن الألوان في أوراق الأزهار والفواكه والعديد من النباتات [79] والانثوسيانينات ذات ألوان قوية جدا تبدأ من purple الى red وصبغة Delphinidin ذات لون يميل الى الأزرق blue-purple [80] وهي صبغة غير سامة ولونها الأزرق يعود الى مجاميع ال-OH والموضحة من خلال التركيب الكيميائي للصبغة [81] ويمكن استخلاصها بطرق سهلة وبسيطة وكمثال على استخلاصها من الملفوف الأحمر red cabbage إذ يحتوي على هذه الصبغة [82].

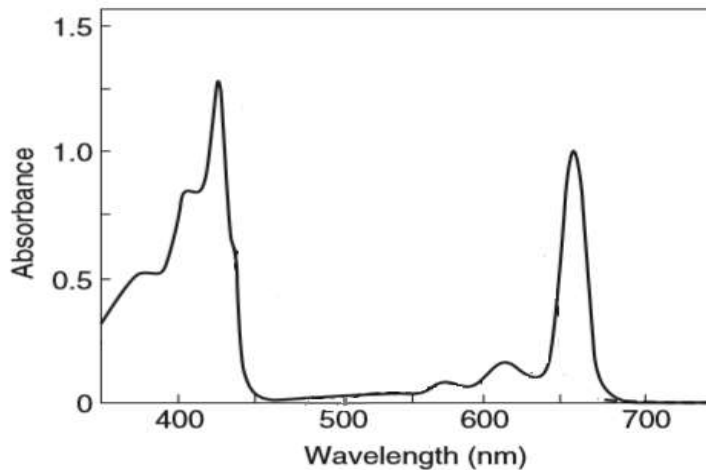
## 3-2 النتائج العملية ومناقشتها

### 3-2-1 اطياف الامتصاص للصبغات

الشكل (3-7) يبين اطياف الامتصاص Uv لاصباغ الانثوسيانين المستخلص من الملفوف الاحمر red cabbage حيث ان  $\lambda_{max}$  تساوي 550nm اما الشكل (3-8) فهو لصبغة الكلوروفيل الذي تم استخلاصه من سعف النخيل palm leaf حيث ان  $\lambda_{max}$  تساوي 664 nm.

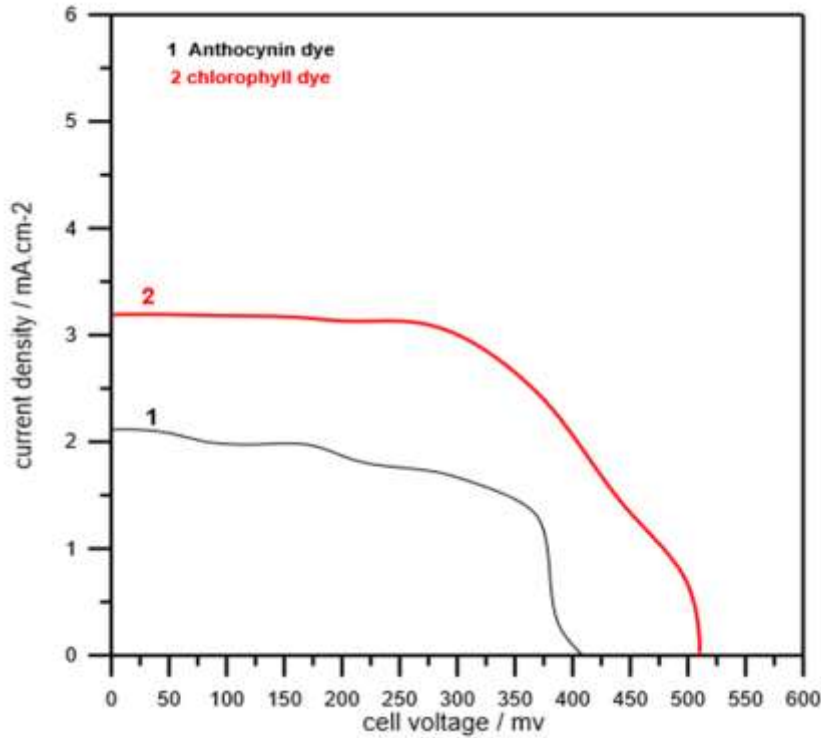


الشكل (3-7) أطياف الامتصاص للملفوف الأحمر



الشكل (3-8) أطياف الامتصاص لسعف النخيل

3-2-2 خصائص الخلايا الشمسية المحضرة



الشكل (3-9) اختبارات I-V للخلايا الشمسية

الشكل (3-9) يوضح اختبارات I-V للخلايا الشمسية التي تم تحضيرها باستخدام  $TiO_2/ITO$  كطبقة أنود و carbon/ITO كطبقة كاثود وباستخدام صبغتين هما الانثوسيانين والكلوروفيل وبيان تأثير هاتين الصبغتين على كفاءة الخلية الشمسية.

العوامل المتغيرة للخلية parameters وهي  $I_{sc}, V_{oc}, I_{max}, V_{max}$  تم معرفتها من خلال منحنى الرسم في الشكل (3-9) أعلاه أما  $ff$  (full factor) وكفاءة الخلية تم حسابها من خلال المعادلات أدناه [13]:

$$\% \eta = \frac{I_{sc} \times V_{oc} \times ff}{P_{in}} \times 100\%$$

$$ff = \frac{I_{max} \times V_{max}}{I_{sc} \times V_{oc}}$$

$\eta$ : تمثل كفاءة التحويل

$I_{sc}$ : تيار الدائرة القصيرة

$V_{oc}$ : فولتية الدائرة المفتوحة

$P_{in}$ : شدة الشعاع الساقط

$I_{max}$ : التيار الاعظم

$V_{max}$ : الفولتية العظمى

$P_{max}$ : القدرة العظمى وتساوي حاصل ضرب التيار الاعظم في الفولتية العظمى

$ff$ : عامل الملئ

الجدول (20-3) يمثل قيم العوامل المتغيرة للخلايا الشمسية DSSC المحضرة

DSSC	Voc mV	Isc mA/ cm <sup>2</sup>	Vmax mV	I <sub>max</sub> mA/ cm <sup>2</sup>	ff	P <sub>in</sub> mW/ m <sup>2</sup>	P <sub>max</sub> mW/ m <sup>2</sup>	η%
Cell 1	408.8	2.12	303.2	1.66	0.58	100	0.503	0.502%
Cell2	510.3	3.19	378	2.36	0.548	100	0.892	0.892%

النتائج تبين بأن الصبغة في سعف النخيل وهي الكلوروفيل أكثر كفاءة من الصبغة في الملفوف الأحمر وهي صبغة Delphinidin وهذه الصبغة اعتبرت أكفا صبغة في نتائج الحسابات النظرية لذا تعد صبغة Chlorophyll أكفا من أكفا صبغة وهذه النتيجة أعتبرت مهمة جدا بسبب الوفرة الكبيرة للنخيل في العراق لذا ممكن استخدامها بصورة واسعة وكبيرة في الخلايا الشمسية المتحسسة للأصباغ DSSC.

## الاستنتاجات Conclusions

تم استنتاج مايلي:

1-أهمية حسابات Molecular Modeling في البحث والتقصي عن الصبغات الصالحة لاستخدامات الخلايا الشمسية كمتحسسات ضوئية وتلك التي لا تصلح باعتماد جملة عوامل منها فرق الطاقة LUMO-HOMO و global electrophilicity وطبيعية الأطوال الموجية.

2-تختلف كفاءة الصبغات كمتحسسات ضوئية اعتمادا على نوع الحزمة المستخدمة Conduction band (C.B.) فالصبغة التي تصلح لإحداها ليس بالضرورة أن تكون صالحة لأخرى.

3-ظهرت صبغة Delphinidin من الصبغات التي يمكن الاستفادة منها في حالة استخدام  $TiO_2$  ك(C.B.) بينما اعتمدت صبغتي Luteolinidin+glucose و Apigeninidin+glucose في حالة استخدام PCBM ك(C.B.).

4-ليس بالضرورة إن تكون الصبغات ذات الأطوال الموجية العالية هي الأفضل والأكفأ كمتحسسات وإنما تخضع لاعتبارات أخرى منها عدد القمم ومقدار امتصاصيتها.

5-اعتماد التحليل الإحصائي Statistical analysis من خلال تبني مبدأ التكرارية ضروري جدا للحصول على نتائج أكثر واقعية إذا ما تم اعتماد أكثر من طريقة حسابية.

6- من المفضل استبعاد طريقة Hartree Fock وفصلها عن حسابات DFT لضعف ملائمتها لهذا المستوى من الحسابات حسب ما اثبتته المعالجات الإحصائية ومبدأ التكرارية الذي تم استخدامه.

7-وفق ما تم من استنتاجات حول طبيعة الأطوال الموجية وبناءا على التجربة العملية لقياس كفاءة التحسس الضوئي للصبغة الموجودة في سعف النخيل باستخدام  $TiO_2$  ومقارنتها بتلك التي تتوافر في الملفوف الأحمر باعتبارها من المصادر الرئيسية للـDelphinidin والتي اعتبرت الصبغة الأكفأ للاستخدام في موضوعنا قيد البحث، فقد ظهرت كفاءة أعلى في صبغة الكلوروفيل وهذا يعتبر من الأهمية البالغة بحيث يمكن استثمار منتوجنا الوطني من النخيل كعامل مهم في إنتاج الطاقة الكهربائية من الخلايا الشمسية.

**Future Researches****الدراسات المستقبلية**

نقترح مايلي:

1- التركيز على دراسة سعف النخيل وما يحتويه من صبغات من خلال دراسة مكوناته بطرق مختلفة وربما تكون تقنية HPLC أحد هذه الطرق باعتبارها واحدة من أهم الطرق المعتمدة في مجال تحليل مزيج المركبات.

2- تشكيل فرق عمل خاصة على مستوى الجامعة لدراسة تفاصيل تصنيع وتصميم الخلايا الشمسية الحاوية على صبغة سعف النخيل وتشمل اختصاصات الهندسة الكيمياء والهندسة الكهربائية والكيمياء الفيزيائية ومتخصصين في تقنية HPLC.

الاصحاح

## References

## المصادر

1. Paul, B. W. (2004), Basic Choices and Constraints on Long-Term Energy Supplies, *Phys. Today*, 57:47-52.
2. Abdeen, M. O. (2011), Opportunities for Sustainable Low Carbon Energy Research Development and Applications, *Low Carbon Economy*, 2:173-191.
3. Michael, E. M., Raymond, S. B. and Malcom, K. H. (1998), Global-Scale temperature patterns and climate forcing over the past six centuries, *nature*, 392: 779-787.
4. Nathan, S. L. (2007), Toward Cost-Effective Solar Energy Use, *Science*, 315:798-801.
5. Martin, A. G. (2009), The Path to 25% Silicon Solar Cell Efficiency: History of Silicon Cell Evolution, *Prog. Photovolt: Res. Appl*, 17:183-189.
6. Martin, A. G., Kieth, E., Yoshihiro, H. and Wilhelm, W. (2010), Solar cell efficiency tables (version 35), *Prog. Photovolt: Res. Appl*, 18:144–150.
7. Michael, G. (2009), Recent Advances in Sensitized Mesoscopic Solar Cells, *Accounts of chemical research*, 42(11).
8. Riccardo, P., Michele, M. and Nadia, C. (2010), Polymer Solar Cells: Recent Approaches and Achievements, *J. Phys. Chem. C*, 114(2): 695-706.
9. Ryuzi, K. (2012), Quantitative Evaluation of Electron Injection Efficiency in Dye-Sensitized TiO<sub>2</sub> Films, *AMBIO*, 41(2):143-148.
10. Feifei, G., Yuan, W., Dong, S., Jing, Z., Mingkui, W., Xiaoyan, J., Robin, H., Peng, W., Shaik, M. Z. and Michael, G. (2008), Enhance the Optical Absorptivity of Nanocrystalline TiO<sub>2</sub> Film with High Molar Extinction Coefficient Ruthenium Sensitizers for High Performance Dye-Sensitized Solar Cells, *J. AM. CHEM. SOC*, 130:10720–10728.

11. Thirumal, M., Shobhan, B, M, andha, and Abhishek, M. (2012), Study and Analysis of Dye Sensitized Solar Cell, *International Journal of Modern Engineering Research*, 2(5):3597-3601.
12. Yuancheng, Q. and Qiang, P. (2011), Ruthenium Sensitizers and Their Applications in Dye-Sensitized Solar Cells, *International Journal of Photoenergy*, 2012.
13. Noor, A. H. (2007), Fabrication and Study of the efficiency of Dye Sensitized Solar Cells DSSC using nano materials, MSc thesis, University of Baghdad, Iraq.
14. Reza, H. and Ahmed, M. (2013), Improving optical absorptivity of natural dyes for fabrication of efficient dye-sensitized solar cells, *Journal of Theoretical and Applied Physics*, 7:57-63.
15. Brian, E. H., Henry, J. S. and Michael, D. M. (2012), The renaissance of dye-sensitized solar cells, *Nature photonics*, 6:162-169.
16. Agnes, M. (2014), Indigenous natural dyes for grätzel solar cells: sepiamelan, MSc thesis, University of South Africa, South Africa.
17. Yi, L. (2013), Synthesis and Characterization of Electron-Responsive Materials, PhD Thesis, Kochi University of Technology, Japan.
18. Syafinar, R., Gomesh, N., Irwanto, M., Fareq, M. and Irwan, Y. M. (2015), FT-IR and Uv-Vis spectroscopy photochemical analysis of dragon fruit, *ARPJ Journal of Engineering and Applied Sciences*, 10(15):6354-6358.
19. Ana, H. R. (2009), Copper(I) polypyridine complexes: the sensitizers of the future for dye-sensitized solar cells (DSSCs), PhD thesis, University of Basel, Switzerland.
20. Monzir, S. A., Mahmoud, B. A., Taher, M. E. and Sofyan, A. T. (2015), Dye-Sensitized Solar Cells Using Dyes Extracted From Flowers, Leaves, Parks, and Roots of Three Trees, *International Journal of renewable energy research*, 1(5):1-5.



21. Hee-Je, K., Dong- Jo, K., Karthick, S. N., Hemalatha, K. V., Raj, C. J., Sunseong, O. and Youngson, C. (2013), Curcumin Dye Extracted from *Curcuma longa* L. Used as Sensitizers for Efficient Dye-Sensitized Solar Cells, *Int. J. Electrochem. Sci.*, 8:8320-8328.
22. Monzir, S. A., Mahmoud, B. A., Naji, A., Amal, M. A., Sofyan, A. T., Taher, M. E. and Hatem, S. E. (2015), Dye-Sensitized Solar Cells Using Fifteen Natural Dyes as Sensitizers of Nanocrystalline  $TiO_2$ , *Sci. Technol. Dev.*, 34(3):135-139.
23. Anca, D., Jeanina, L. and Alexandru, I. (2016), Green sea weeds extract as co-sensitizer for dye sensitized solar cells, *St. Cerc. St. CICBIA*, 17 (1):013-025.
24. Hatem, S. E., Taher, M. E., Sofyan, A. T., Monzir, S. A. and Amal, Y. B. (2014), Dye-sensitized solar cells with natural dyes extracted from plant seeds, *Materials Science-Poland*, 32(4):547-554.
25. Hubert, H., Michael, B., Peter, M. and Thilo, G. (2014), Biophotovoltaic: Natural Pigments in dye sensitized solar cells, *Applied Energy*, 115:216-225.
26. Mounir, A., Ahmed, S. I. and Doubal, A. W. (2012), Studying of Natural Dyes Properties as Photo-Sensitizer for Dye Sensitized Solar Cells (DSSC), *Journal of Electron Devices*, 16:1370-138.
27. Raghvendra, Vipin, S., Ambika, S., Hedayetullah, MD., Ganesh, S. A., Amlan, M., Anshu, D. G., Amol, P. P. and Dharmendra, P. (2011), Chemical and Potential Spectra of Anthocyanins-a Water-Soluble Vacuolar Flavonoid Pigments: A Review, *International Journal of Pharmaceutical Sciences Review and Research*, 6(1):28-33.
28. Andery, L., Noramaliyana, H. M., Kushan, T., Chandrakanthi, R. L. N., Linda, B. L. L., Bandara, J. M. R. S. and Piyasiri, E. (2014), Higher Performance of DSSC with Dyes from *Cladophora* sp. as Mixed Cosensitizer through Synergistic Effect, *Journal of Biophysics*, 2015:1-8.

29. Monishka, R. N. (2012), Review: Dye sensitized solar cell based on natural photosensitizers, *Renewable and Sustainable Energy Reviews*, 16: 208- 215.
30. Teresita, R., Norma, F. and Daniel, G. (2010), Natural Carotenoids as Nanomaterial Precursors for Molecular Photovoltaics: A Computational DFT Study, *J. Molecules*, 15: 4490-4510.
31. Duo, L. (2013), Development of imide- and imidazole-containing electron acceptors for use in donor-acceptor conjugated compounds and polymers, PhD thesis, Carleton University, Canada.
32. Simon, S. (2011), Red/Nir\_ absorbing Oligothiophenes for Organic Solar Cells, PhD thesis, University of Ulm, Ulm. Germany.
33. Dipl. P. S. (2014), Generation, Recombination and Extraction of Charges in Polymer: Fullerene Bulk Heterojunction Solar Cells, PhD Thesis, University of Postdam, Postdam.
34. Frank Jensen, Introduction to Computational Chemistry, 2<sup>nd</sup> ed, Wiley and Sons., 2007.
35. Ramachandran K.I., Deepa G. and Namboori K., Computational Chemistry and Molecular Modeling: Principles and Applications, 2008.
36. Stephen K. Chapman and Graeme A. Reid, Methods in Molecular biology, Humana Press Inc. New Jersey, 1999.
37. David, M. C. (2007), Chemical Applications of Density Functional Theory as an Analytical Tool, PhD thesis, university of southern California.
38. Allen B. Tucker, Computer Science Handbook, 2<sup>nd</sup> Edition, CRC Press, Florida, 2004.
39. Sanghoon, K., Jae, K. L., Sang, O. K., Jaejung, K., Yum, J.-H., Simona, F., Filippo, D. A., Censo, D. D., Nazeeruddin, M. K. and Michael, G. (2006), Molecular Engineering of Organic Sensitizers for Solar Cell Applications, *J. AM. CHEM. SOC.*, 128: 16701-16707.

40. Mao, L., Wei, X., Fengshi, C., Peiquan, C., Bo, P., Jun, C. and Zhengming, L. (2007), New Triphenylamine-Based Organic Dyes for Efficient Dye-Sensitized Solar Cells, *J. Phys. Chem. C*, 111:4465-4472.
41. Liang, D., Yu-Qi, D., Qi-Wen, T. and Ke, W. (2007), The Effect of Substituents on the Fluorescent Properties of Para-phenylenevinylene, *J. Chin. Chem. Soc.*, 54(4):853-860.
42. Elena, J., Robert, C. S., Victor, S. B., Richard, L. M., and Enrique. R. B. (2009), Interfacial Electron Transfer in TiO<sub>2</sub> Surfaces Sensitized with Ru(II)-Polypyridine Complexes, *J. Phys. Chem.* 113(45):12532-12540.
43. Bouachrine, M., Bouzzine, S.M., Hamidi, M., Lére-Porte, J-P., Serein-Spirau, F., Sotiropoulos, J.M. and Miqueu, K. (2010), Molecular design of new  $\pi$ -conjugated materials based on thiadiazolothienopyrazine for organic solar cells, *J. Mater. Environ. Sci.*, 1(2):78-83.
44. Belghiti, N., Bennani, N., Hamidi, M., Bouzzine, S. M. and Bouachrine, M. (2012), New compounds based on anthracene as a good candidate for organic dye-sensitized solar cells: Theoretical investigations, *African Journal of Pure and Applied Chemistry*, 6(14):164-172.
45. Jesús, B., José, C., Norma, F., Jorge, A. and Daniel, G. (2012), Computational Molecular Nanoscience Study of the Properties of Copper Complexes for Dye-Sensitized Solar Cells, *Int. J. Mol. Sci.*, 13:16005-16019.
46. Tian-hao, H., Ying-hui, W., Zhi-hui, K., Jin-bo, Y., Ran, L. and Han-zhuang, Z. (2013), Investigation on Photophysical Properties of D-p-A-p-D-Type Fluorenone-Based Linear Conjugated Oligomers by Using Femtosecond Transient Absorption Spectroscopy, *Photochemistry and Photobiology*, 90: 29-34.
47. Corneliu, I. O., Petre, P., Fanica, C., Marilena, F. and Mihai, A. G. (2013), Density Functional Theory (DFT) Study of Coumarin-based

Dyes Adsorbed on TiO<sub>2</sub> Nanoclusters—Applications to Dye-Sensitized Solar Cells, *J. Materials*, 6:2372-2392.

48. Muhammad, R. R. K., Voo, N. Y. and Piyasiri, E. (2013), Density functional theory (DFT) and time-dependent density functional theory (TDDFT) studies of selected ancient colourants as sensitizers in dye-sensitized solar cells, *J. Natn. Sci. Foundation Sri Lanka*, 42 (2):169-175.

49. Rody, S., Jesús, B., Norma, F. and Daniel, G. (2014), Comparison of several protocols for the computational prediction of the maximum absorption wavelength of chrysanthemine, *J Mol Model*, 20:2378.

50. Amine, M., Amine, A., Hamidi, M. and Bouachrine, M. (2014), Design of new low band gap conjugated small molecules based on thiophene and diphenylamine units as organic dye sensitized solar cell materials, *Mater. Environ. Sci.*, 5(S1):2092-2100 .

51. Abram, T., Adad, A., Zahlou, A., Lakhlifi, T., Bejjit, L. and Bouachrine, M. (2014), Recent Computational Studies of Electronic and Photovoltaic Properties of New Pi-Conjugated Molecules Based on Pyrimidine Derivatives, *International Journal of Advanced Research in Computer Science and Software Engineering*, 4(12):140-150.

52. Hayat, S., Samir, C., Mohammed, N. B., Tahar, L. and Mohammed, B. (2014), New Materials Based on Acridin: Correlation Structure-Properties and Optoelectronic Applications, *Journal of Chemistry and Materials Research*, 1(4):112-122.

53. Antonio, A., Raquel, P., Konrad, W., Jamie, M. F., Adity, S., Ullrich, S., Henry, J. S., Santiago, F. and Jesus, O. (2015), Phosphonic anchoring groups in organic dyes for solid-state solar cells, *Phys. Chem. Chem. Phys.*, 17:18780-18789.

54. Joseph, M., Tatiana, P. and Alexander, P. (2015), Vibrational and Electronic Spectra of Natural Dyes Constituents for Solar Cell Application: DFT and TDDFT Study, *International Journal of Materials Science and Applications*, 4(5):314-324 .

55. Hsien-Hsin, C., KamaniSudhir, K. R., Hui-Ping, W., Bo-Cheng, G., Hsuan-Wei, L., Eric, W. D., Chao-Ping, H. and Chen-Yu, Y. (2016), Influence of Phenylethynylene of Push–Pull Zinc Porphyrin on the Photovoltaic Performance, *ACS Appl. Mater. Interfaces*, 8:3418-3427.
56. Kyung-Hee, P., Tae-Young, K., Shin, H., Hyun-Seok, K., Suk-Ho, L., Yong-Min, S., Jung-Hun, K. and Jae-Wook, L. (2014), Light harvesting over a wide range of wavelength using natural dyes of gardenia and cochineal for dye-sensitized solar cells, *Spectro chimica Acta Part A: Molecular and Biomolecular Spectroscopy*, 128:868-873.
57. Hernández-Martínez, A. R., Estevez, M., Vargas, S., Quintanilla, F. and Rodríguez, R. (2012), Natural Pigment-Based Dye-Sensitized Solar Cells, *Journal of Applied Research and Technology*, 10(1):38-47.
58. Mohammed, I. K., Musa, M. M., Kasim, U. I., Hassan, N. Y. and Muhammed, M. N. (2012), Photoelectric Characterization of Dye Sensitized Solar Cells Using Natural Dye from Pawpaw Leaf and Flame Tree Flower as Sensitizers, *Materials Sciences and Applications*, 3:281-286.
59. Bourass, M., Fitri, A., TouimiBenjelloun, A., Benzakour, A., Mcharfi, M., Hamidi, M., Serein-Spirau, F., Jarroson, T., Lère-Porte, J. P., Sotiropoulos, J. M. and Bouachrine, M. (2013), DFT and TDDFT investigations of new thienopyrazine-based dyes for solar cells: Effects of electron donor groups, *Der PharmaChemica*, 5(5):144-153.
60. Beate, F., Peter, T. W. and Roald, H. (2005), Transition Metal Complexes of Cyclic and Open Ozone and Thiozone, *J. AM. CHEM. SOC*, 127(4):1278-1285.
61. Mihaylov, T., Trendafilova, N., Kostova, I., Georgieva, I. and Bauer, I. (2006), DFT modeling and spectroscopic Study of metal-ligand bonding in La(III) Complex of Coumarin-3-Carboxylic acid, *Chemical Physics*, 327:209-219.

62. Michael, G. W., Alexander, B. R. and Carl, C. W. (2010), Porphyrins and phthalocyanines in solar photovoltaic cells, *J. Porphyrins Phthalocyanines* ,14:761-792 .
63. Sachin, K., Anantha, N., Mitta, N. R., Mobin, M. S. and Prasenjit, G. (2011), Ruthenium complexes of chelating amido-functionalized N-heterocyclic carbene ligands: Synthesis, structure and DFT studies, *J. Chem. Sci*, 123(6):791-798.
64. Singh, R. K., Suresh, K. V. and Prabhu, D. S. (2011), DFT based Study of interaction between Frontier Orbitals of Transition Metal Halides and Thioamides, *International Journal of ChemTech Research* , 3(3):1571-1579.
65. Ahmadi, M. S. and Fattahi, A. (2011), On the binding of  $Mg^{2+}$ ,  $Ca^{2+}$ ,  $Zn^{2+}$  and  $Cu^{+}$  metal cations to 2'-deoxyguanosine: Changes on sugar puckering and strength of the N-glycosidic bond, *Scientia Iranica, Transactions C: Chemistry and Chemical Engineering* ,18:1343-1352.
66. Charity, F. L., Gernot, F. and Gregory, S. G. (2012), Donor–Acceptor Properties of Bidentate Phosphines. DFT Study of Nickel Carbonyls and Molecular Dihydrogen Complexes, *Organometallics*, 31:4122-4132.
67. Mahdeyeh, S., Tayebbeh, S., Mohammadi, S. Z. (2012), Some Theoretical Study on the Interaction Between of a Salen Schiff-base Ligand with Zn (II), Cd (II) and Hg (II) Ions, *Journal of Chemical and Pharmaceutical Research*,4(1):27-32.
68. Ling, Q., Jian-Guo, L., Xue-Dong, G., Wen, C. and Shi-Neng, L. (2012), Substituent Effect on the Structure and Biological Property of  $^{99m}Tc$ -Labeled Diphosphonates: Theoretical Studies, *Bull. Korean Chem. Soc*, 33(12):4084-4092.
69. Duran, K. and Koray, S. (2013), DFT and TD-DFT studies on copper(II) complexes with tripodal tetramine ligands, *Indian Journal of Chemistry* , 52A: 480-485.

70. Beyramabadi, S. A. (2013), DFT Study on the Fe, Cu and Zn Complexes of 4-(2-Thiazolylazo) Resorcinol, *Bulgarian Chemical Communications*, 46(1)31-35.
71. Alireza, A. and Zahra, A. (2013), Synthesis, characterization, and DFT calculation of a Pd(II) Schiff base complex, *Turkish Journal of Chemistry*, 37: 867-878.
72. Rodrigo, C., Joaquín, O., Josefa, D., Juan, F. and Francisco, M. (2013), Theoretical calculations of stability constants and pKa values of metal complexes in solution: application to pyridoxamine–copper(II) complexes and their biological implications in AGE inhibition, *Phys. Chem. Chem. Phys*, 15:16303-16313.
73. Naokazu, Y., Shigeyoshi, S., Nobuko, K., Tsuyoshi, I. and Hiroshi, T., (2014), A DFT Study of the Triplet Excited States of Iridium(III) Complexes with Terpyridine Ligands, *Canadian Chemical Transactions*, 2(2):134-148.
74. Ying, L., Shu-Hao, K., Shen-Ming, C., Ali, M. A. and Fahad, M. A. (2013), Photoelectrochemistry for Red Cabbage Extract as Natural Dye to Develop a Dye-Sensitized Solar Cells, *Int. J. Electrochem. Sci*, 8 :1237-1245.
75. Neha, G. and Vidya, P. (2011), Extraction and application of natural dye preparations from the floral parts of *Woodfordia fruticosa* (Linn.) Kurz, *Indian Journal of Natural Products and Resources*, 2(4):403-408.
76. Torchani, A., Gharbi, R. and Fathallah, M. (2014), Study of Natural Dyes for Sensitized Solar Cells Applications, *Sensors & Transducers*, 27:185-189.
77. Aziz, E., Amina, A., Mohammed, H. and Mohammed, B. (2015), DFT design and characterization of new D- $\pi$ -A compounds based on thenylenevinylene and thieno[3,4-b]pyrazine for dyes-sensitized and

- organic solar cells, *Journal of Chemistry and Materials Research*, 2(1):2-11.
78. Fouad, N., Alaa, M. and Anees, A. (2015), Density Functional Theory Investigation of The Physical Properties of DicyanoPyridazine Molecules , *International Journal of Science and Research*, 4(1):2334-2339.
79. Anna, B. (2005), AcylatedAnthocyanines as Stable-Areview, *Pol. J. Food Nutr. Sci*, 14/55(2):107-116.
80. Alan, M. (2006), Carotenoids and other pigments as natural colorants, *Pure Appl. Chem*, 78(8):1477-1491.
81. Ewa, M. (2009), Survey of Plant Pigments: Molecular and Environmental Determinants of Plant Colors, *ActaBiologicaCracoviensia Series Botanica*, 51/1:7-16.
82. Gokilamani, N., Muthukumarasamy, N., Thambidurai, M., Ranjitha, A. and Dhayalan, V. (2013), Utilization of natural anthocyanin pigments as photosensitizers for dye-sensitized solar cells, *J Sol-Gel SciTechnol*, 66:212-219.



## Abstract

The goal of this work is to evaluate the efficiency of natural dyes as photosensitizer materials in solar cells design using Molecular modeling calculations such as Density Functional Theory and Hartree Fock applications supported by three bases set which are 3-21G, 6-31G and 6-311G in addition to approximation functional B3LYP and this calculations was carried out by package program ChemBio3D ultra.

Twenty five natural dyes were studied using different calculation methods to determine some important parameters which are used to evaluate the photosensitizer efficiency used in solar cells. These parameters are as follow:

- 1- HOMO-LUMO energy gap.
- 2- UV-Visible absorption peaks
- 3- Global electrophilicity.
- 4- open circuit voltage ( $V_{oc}$ ) for  $TiO_2$ .
- 5- open circuit voltage ( $V_{oc}$ ) for PCBM.

Because of the lack of clarity of vision of which methods used is more suitable to calculate the above parameters for these different dyes and due to mismatched between the obtained results among the different methods, statistical analysis has been accomplished to overcome this problem to get more realistic results. Accordingly, delphinidin dye have been appeared as more efficient dye with  $TiO_2$  conduction band, while both Luteolinidin+glucose and Apigeninidin+glucose represent the more efficient with PCBM conduction band.

Also, some experimental works were carried out to compare between red cabbage which contains anthocyanin which is the main source of delphinidin dyes that is considered the efficient photosensitizer used in solar cells (between the twenty five natural dyes studied in this work) and the chlorophyll present in palm tree leaves. The results obtained confirm that the dye within the palm tree is more efficient than the dye in the red

cabbage and this result has been considered as very important due to their abundance in Iraq and it can be easily used in such project.

Ministry of Higher Education and Scientific Research  
University of Diyala  
College of Science  
Department of Chemistry



# **Using Density Functional Theory to Evaluate the Efficiency of Organic Dyes as Sensitizers for Solar Cells**

A Thesis Submitted To Council of College of Science, University of Diyala  
in Partial Fulfillment of the Requirements for the Degree of Master of  
Science in Chemistry

by

Naba Borhan Ali

B.Sc 2011/Diyala University

Supervisor by

Prof. Dr. Amir Fahdil Dawood AL-Niimi

Asst. Prof. Dr. Salah A. Jassim Humadi

2016

Iraq

1438